Un disque circumplanétaire autour de la planète du système binaire 2MASS J01033563-55155615(AB)?

Soutenance de stage 30 juin 2025

Master 1 Noyaux, Particules, Univers/Agrégation

Laboratoire : Max Planck Institut für Astronomie, Heidelberg (Allemagne)

Tuteur : Gaël CHAUVIN Co-Tuteur : Matthieu RAVET

Etudiant: Gaël GOMMENDY











Sommaire

Introduction

- D'autres mondes?
- Qu'est qu'un CPD?
- Qu'est ce qu'une naine brune ?
- DELORME AB b

2 Méthodes et Outils

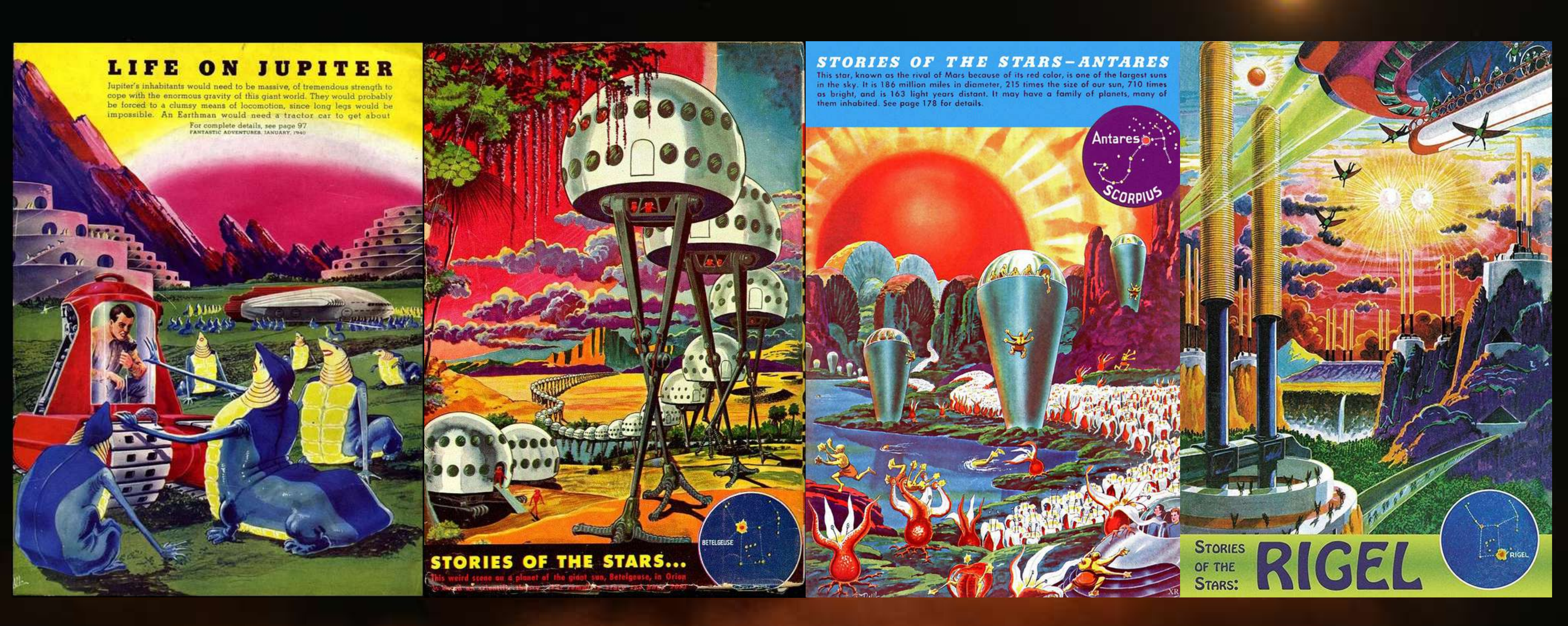
- Code ForMoSA
- Modèles de corps noirs
- Grille d'atmosphère ExoREM

3 Résultats

- Instruments et Spectre DELORME AB b
- Inversement du sepctre sur ForMoSA

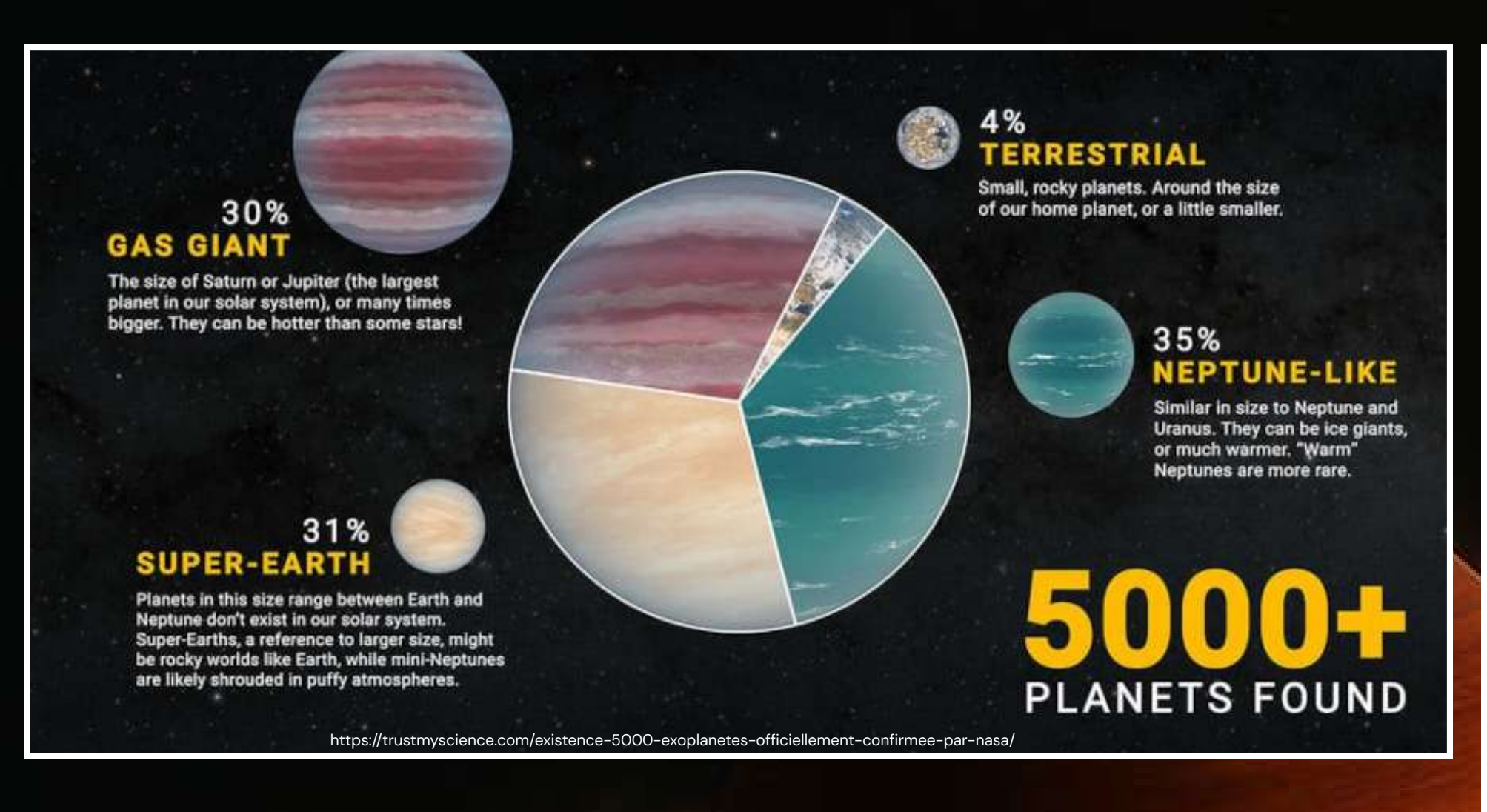
4 Conclusions et Perspectives

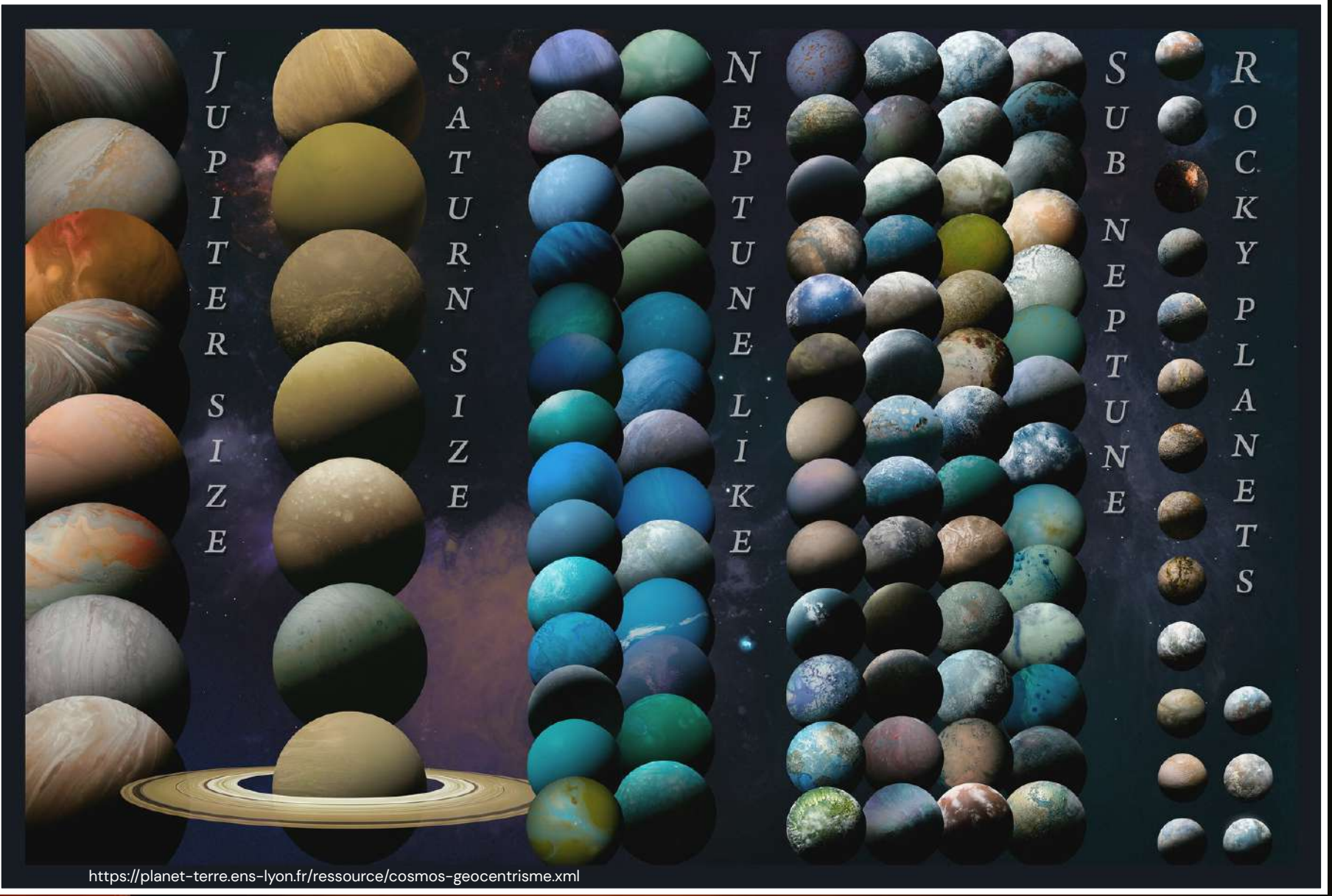
D'autres mondes?



Illustrations de Franck R. Paul (1884-1963) pour des quatrièmes de couverture de magazine

D'autres mondes?





Qu'est ce qu'un CPD (Cirucm Planetary Disk)?

Géométrie

C'est un disque qui entoure une planète en formation.

- Taille : de ~ Rjup à 100 Rjup
- Température : ~100 à ~1000 K (émet dans IR)

Origine

Se forme lorsque de la matière en provenance du disque protoplanétaire principal est capturé par la gravité de la planète massive.

Composition

- Gaz (molécules ~nm)
- Poussière (grains ~µm)

Pourquoi les étudier?

- Berceau de satellites naturels?
- Phénomènes d'accretion de la planète
- Explique des émissions en infrarouge non prédites par les modèles d'atmosphères (pour certaines planètes)

Qu'est ce qu'un CPD (Cirucm Planetary Disk)?

Géométrie

C'est un disque qui entoure une planète en formation.

- Taille : de ~ Rjup à 100 Rjup
- Température : ~100 à ~1000 K (émet dans IR)

0.05 x 0.05 arcminutes distance : 370 al

PDS 70 c

 $Cr\'{e}dits: https://www.astronomy.com/science/snapshot-alma-spots-moon-forming-disk-around-distant-exoplanet/spots-moon-forming-disk-around-distant-exoplanet/spots-moon-forming-disk-around-distant-exoplanet/spots-moon-forming-disk-around-distant-exoplanet/spots-moon-forming-disk-around-distant-exoplanet/spots-moon-forming-disk-around-distant-exoplanet/spots-moon-forming-disk-around-distant-exoplanet/spots-moon-forming-disk-around-distant-exoplanet/spots-moon-forming-disk-around-distant-exoplanet/spots-moon-forming-disk-around-distant-exoplanet/spots-moon-forming-disk-around-distant-exoplanet/spots-moon-forming-disk-around-distant-exoplanet/spots-moon-forming-disk-around-distant-exoplanet/spots-moon-forming-disk-around-distant-exoplanet/spots-moon-forming-disk-around-distant-exoplanet/spots-moon-forming-disk-around-distant-exoplanet/spots-moon-forming-disk-around-disk-$

Origine

Se forme lorsque de la matière en provenance du disque protoplanétaire principal est capturé par la gravité de la planète massive.

Composition

- Gaz (molécules ~nm)
- Poussière (grains ~µm)

Pourquoi les étudier?

- Berceau de satellites naturels?
- Phénomènes d'accretion de la planète
- Explique des émissions en infrarouge non prédites par les modèles d'atmosphères (pour certaines planètes)

Qu'est ce qu'une naine brune?

Une naine brune est un objet intermédiaire entre une planète géante et une étoile.

- Trop massive pour être une planète
- Ne fais pas de nucléosynthèse comme une étoile

Elles émettent surtout dans IR Leur spectre présente des signatures de molécules comme H2O, CH4, CO, NH3 ...

Pourquoi les étudier?

- Composition et mécanismes de formation proches des exoplanètes géantes
- Certaines sont isolées, sans étoile hôte, ce qui permet une observation plus directe et simple
- Permettent de mieux définir la frontière planète/ étoile (question débattue aujourd'hui)





00- 800 K 900 K 2,400
00 K Brown 3,700
00 K Brown 9,700
0

Wolf 359,
Sapaney,
Giese 581,
Startrecht,
Kygol, Tane,
FRAPPIST-1,
xxima Centauri, 40 Enideni A,
etc.

Orange
Change
Orange
Change
Chan



Yellow
Sun/Sol (Sounha),
Figil Kentaurua,
Reseae Carndeei,
Jetoon, Corelemia

Reesee Canndesi, Jetgon, Corelamia Aurelion Sol, Tau Ceti, Alpha Solene, Ongina, Mu Herculia, New Sol (Nova Sounha) etc.



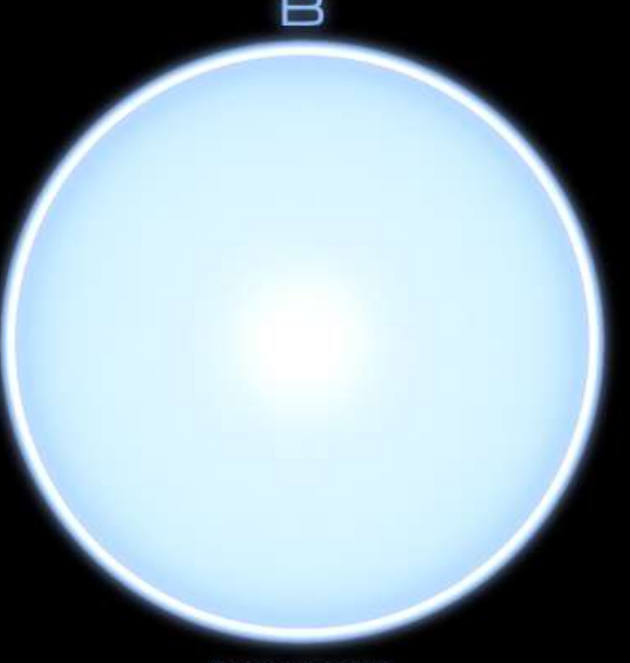
6,000-7,500 K

Yellow-White
Procyon A, Mon Denternus,
New Menjanum, Gamma Virginis A and B
Wllson's Retrest, Tau Boötis,
Catopei, Boynton, Coltduccehi,
Sageu, Sol Bolturn, RCA-6043,
FUS-28432 II, Ameris Prime,



7,500-10,000 K White

Vega, Sirius A, Deneb (Drahgon),
Volcane, Fomelhaut, Altair,
Denebola, RCA-4023,
Ad'lochda, Suberia Major,
Sitih Predex, Tex Landarbox,
Sandarboxo-143, RUS-2005,
TAE-6-16-2000, Getuis, etc.



10,000-30,000 K White-Blue

Rigel, Beta Rigel, Upeilon Onionie, Eta Canis Mejonis, Omionon2 Cania Mejonis, Alniam, 18 Tauri, Tau Sconpii, Rho Aurigae, Summili, Qudeia, Ranose (Kanptron Prime), Dreed Topmania, Seixankkout (Star), S'yankuhoot Nar Santtauurdea, Zatania, Makunga, Templeton, 9 Caphai, Gamma Two'ot, 1699, Ord Regianaon, etc



≥ 30,000 k Blue

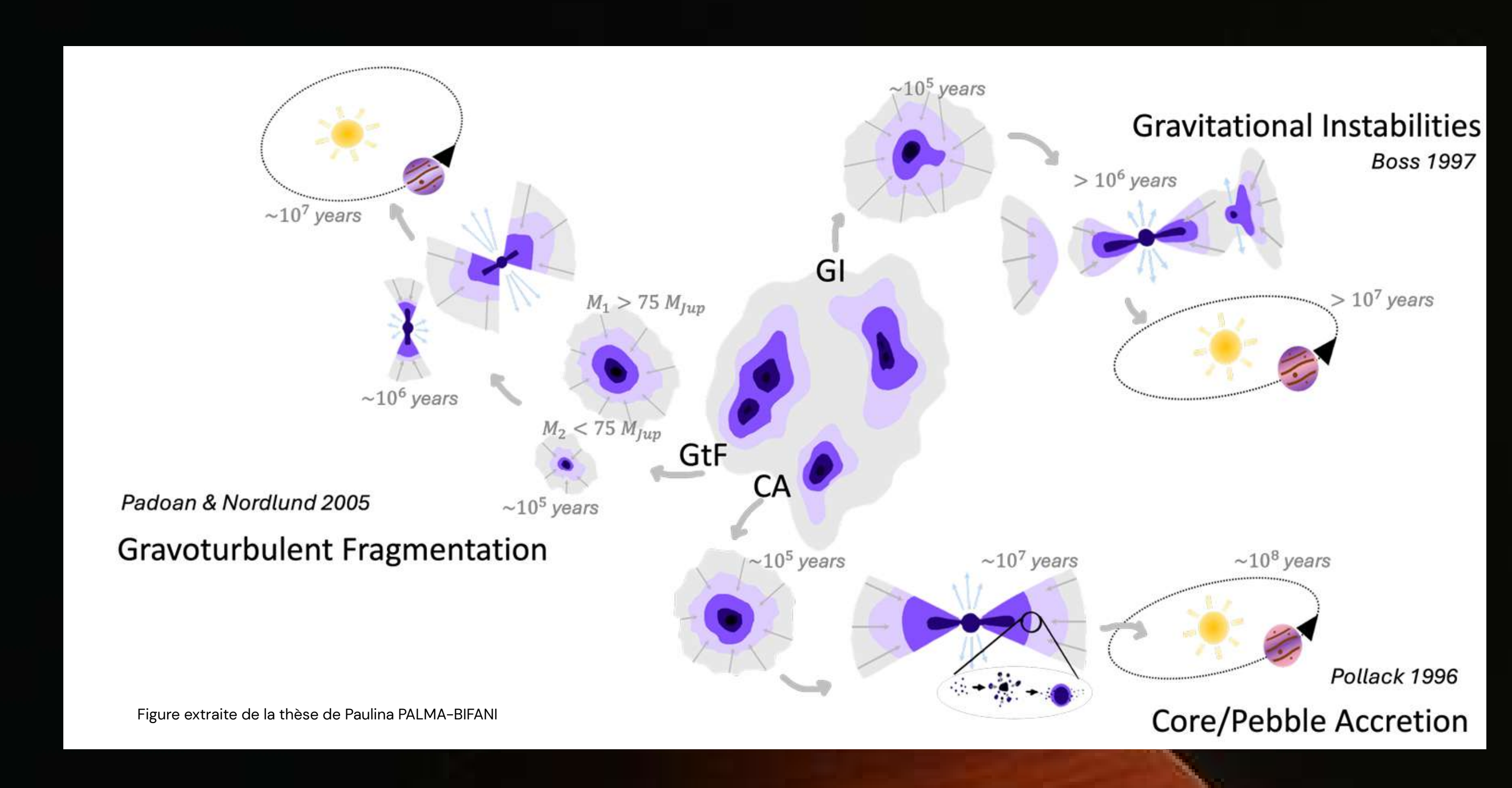
S Monocerotis, 10 Lacertae, Zeta Puppis (Naos), LW Canis Majoris (LW CMs), MACS J1149 Lensed Star 1 (on Icarus), Galaxi Prime, Aldercant Prime, Telloris, Naddelsolarbrockrecht, Cygnus X-1, Alpha Camelopardalis, Zündapp, etc.

Qu'est ce qu'une naine brune?

Comment sont-elles formées ?

Les mécanismes de formation restent assez flous aujourd'hui. 3 modèles sont utilisés :

- Fragmentation de nuage
- Accrétion de corps
- Instabilité gravitationnelle

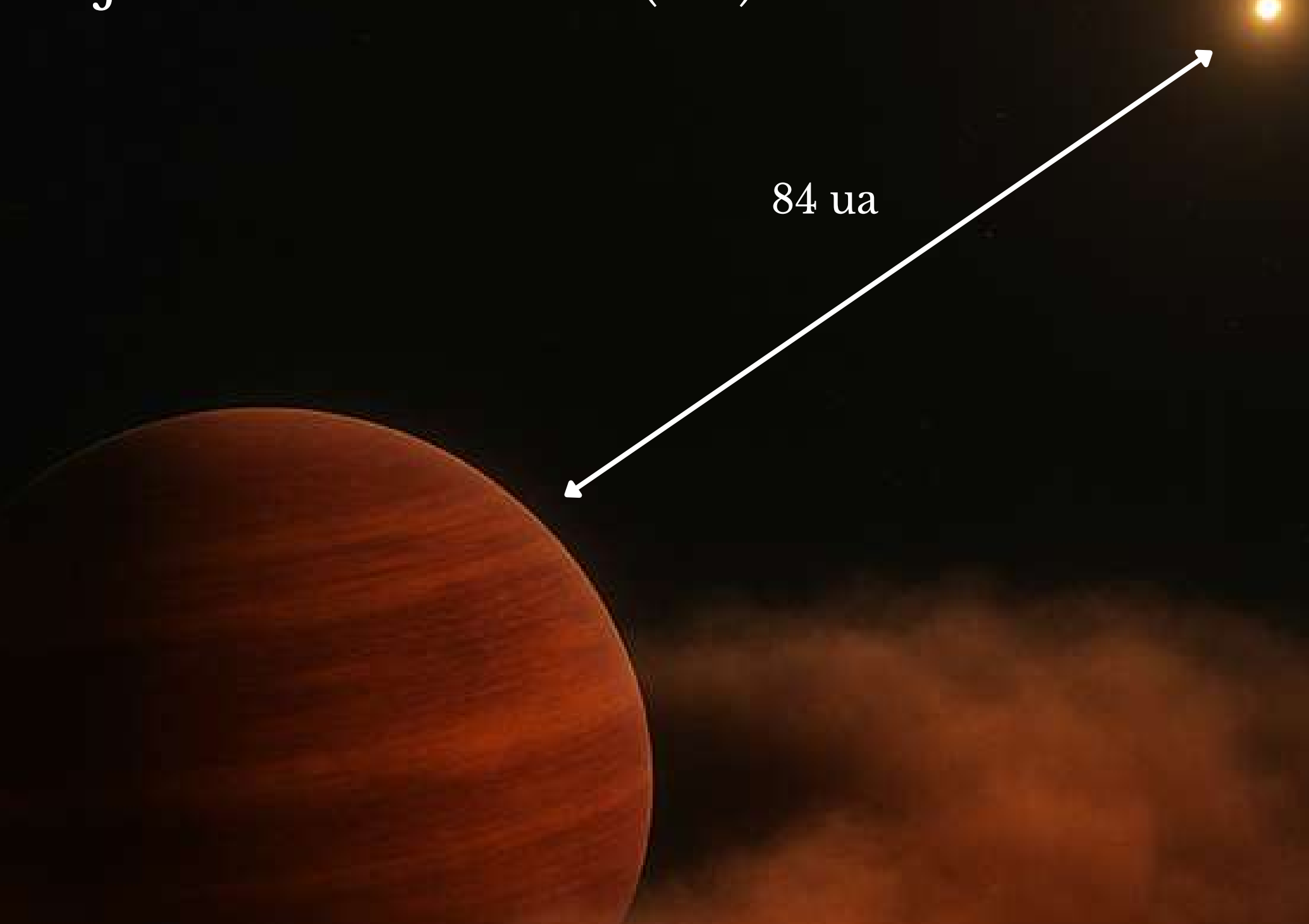


DELORME AB b ou 2MASS J01033563-55155615(AB) b

Système:

Découverte : 2013 (imagerie directe) Distance : 47.2 pc

Séparation : 84 ua



DELORME AB b ou 2MASS J01033563-55155615(AB) b

Système:

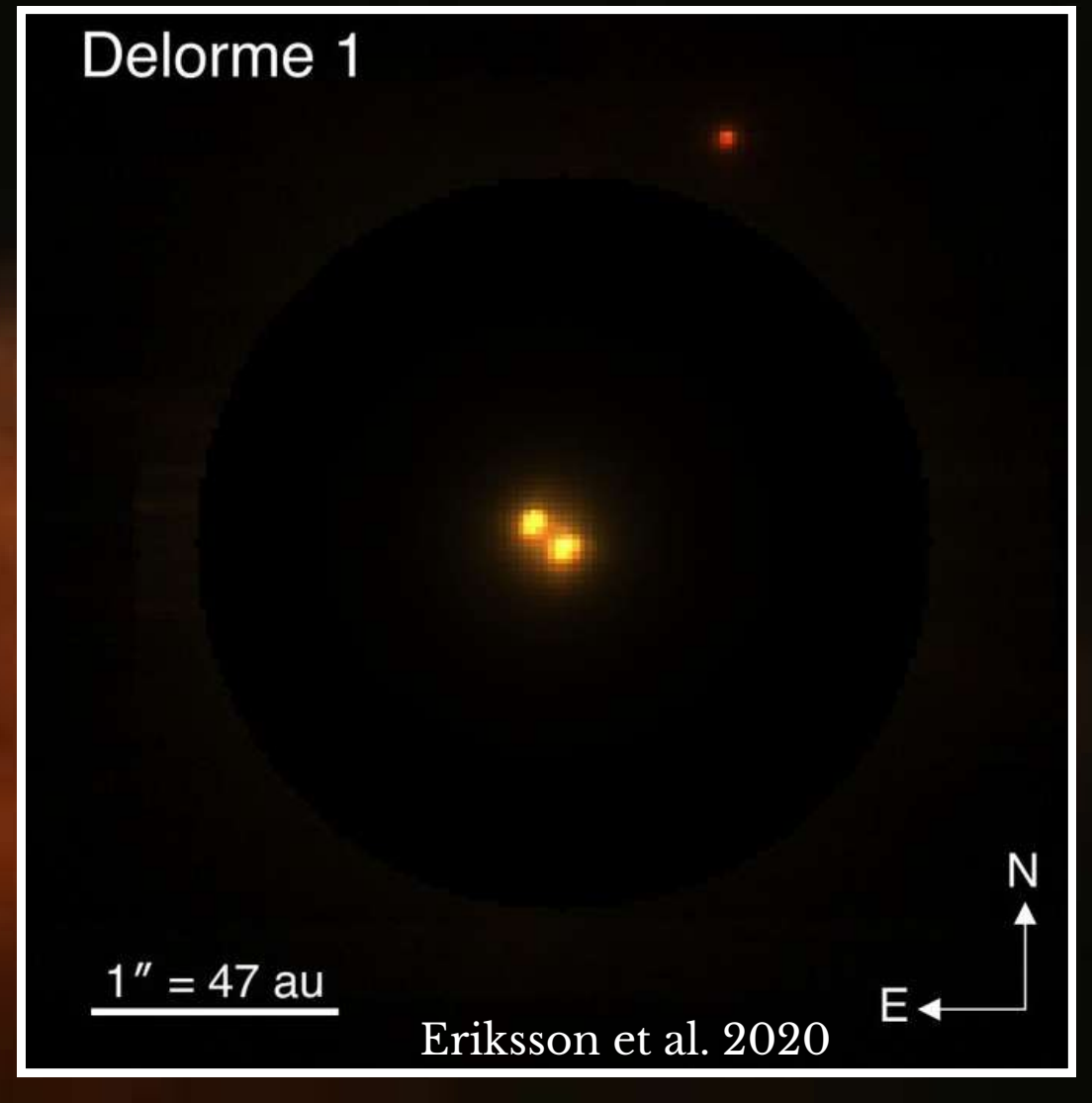
Découverte : 2013 (imagerie directe) Distance : 47.2 pc Séparation : 84 ua

Planète:

Masse: 12-14 Mjup

Température : ~1800 K

Age: 30-45 Myr Type spectral: L0



DELORME AB b ou 2MASS J01033563-55155615(AB) b

Système:

Découverte : 2013 (imagerie directe) Distance : 47.2 pc Séparation : 84 ua

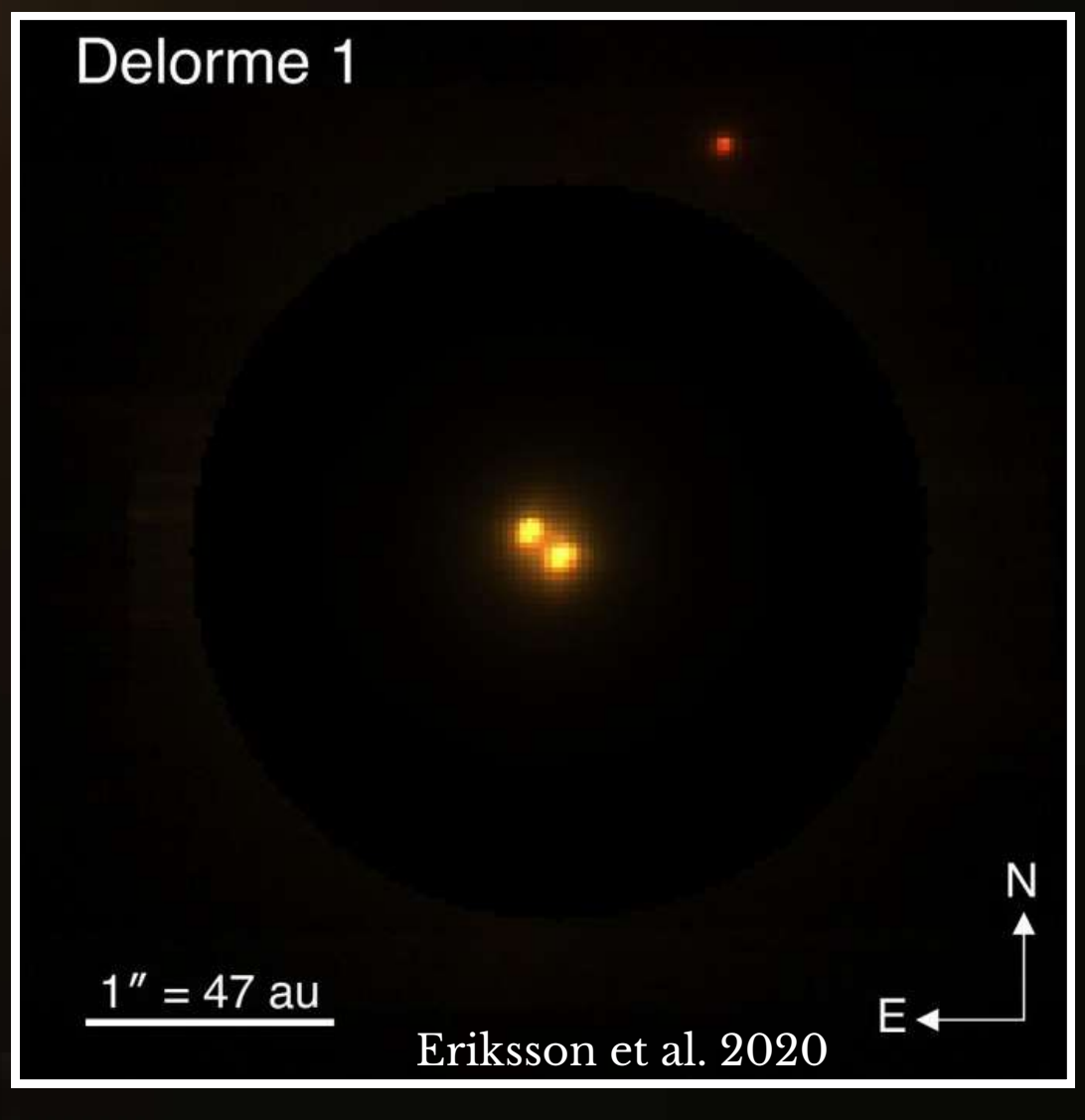
Planète:

Masse: 12-14 Mjup

Température : ~1800 K

Age: 30-45 Myr Type spectral: L0

2MASS J01033563-55155615 AB 1



DELORME AB b ou 2MASS J01033563-55155615(AB) b

Système:

Découverte : 2013 (imagerie directe) Distance : 47.2 pc Séparation : 84 ua

Planète:

Masse : 12-14 Mjup Température : ~1800 K

Age: 30-45 Myr Type spectral: L0

Etoile binaire:

Masse: 0,19 et 0,17 Msol

Séparation : 12 ua Type spectral : M5.5 2MASS J01033563-55155615 AB 1



DELORME AB b ou 2MASS J01033563-55155615(AB) b

DELORME AB b

Température (K): ~1800

Masse (Mjup) : 12-14

Rayon: inconnu

Mercure

Température (K) : ~440/100

Masse (Mjup) : 1.6 × 10-7

Rayon (Rjup): 0.00017

DELORME AB b ou 2MASS J01033563-55155615(AB) b

Terre

DELORME AB b

Température (K): ~1800

Masse (Mjup) : 12-14

Rayon: inconnu

Température (K) : 288 Masse (Mjup) : 3.15 × 10-6 Rayon (Rjup) : 0.00045

DELORME AB b ou 2MASS J01033563-55155615(AB) b

DELORME AB b

Température (K): ~1800

Masse (Mjup) : 12-14

Rayon: inconnu



Jupiter

Température (K) : 110 Masse (Mjup) : 1 Rayon (Rjup) : 1

DELORME AB b ou 2MASS J01033563-55155615(AB) b

DELORME AB b

Température (K): ~1800

Masse (Mjup) : 12-14

Rayon: inconnu



Température (K): 5770

Masse (Mjup) : 1047

Rayon (Rjup) : 9,96

ForMoSA (Forward Modeling for Spectral Analysis)



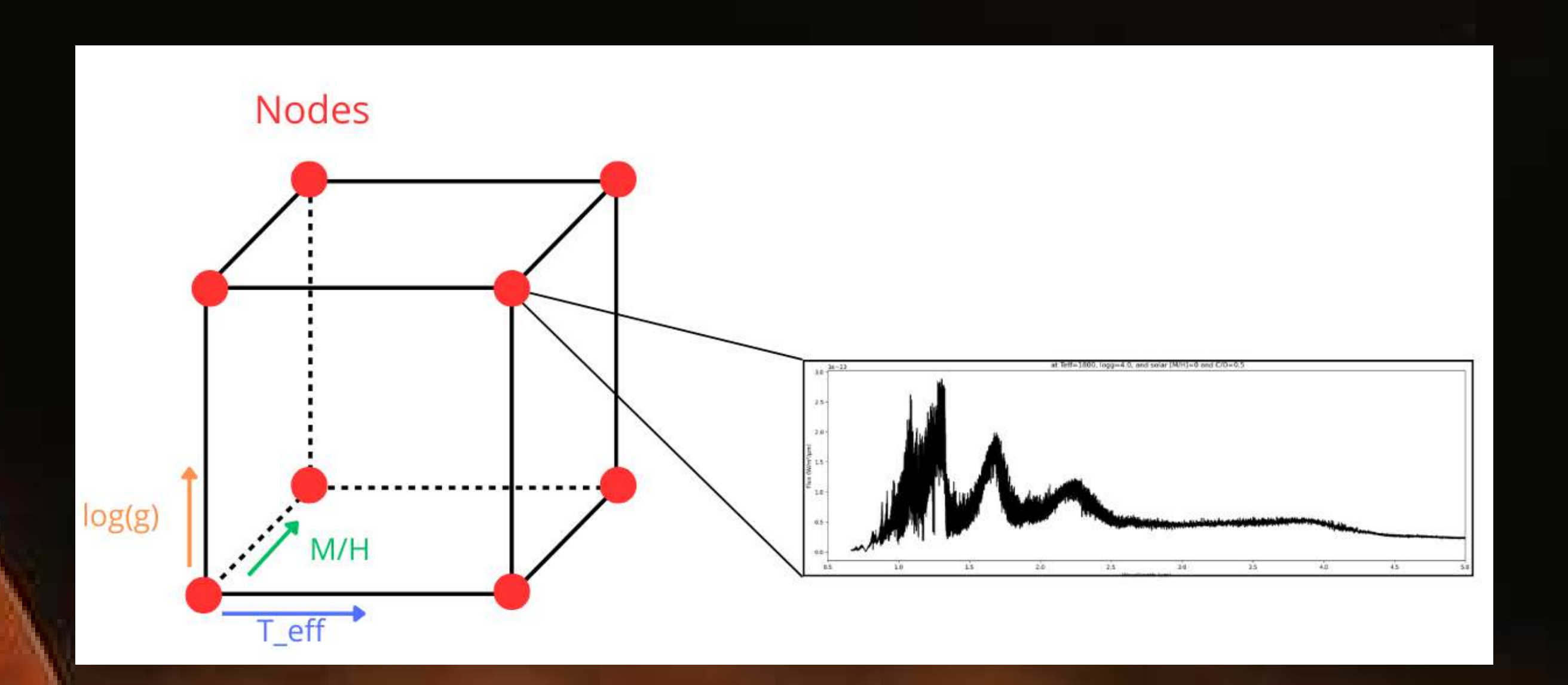
- Utilise une grille pré-calculée de modèles atmosphériques
- Algorithme de "nested sampling" pour explorer l'espace.
- Déterminer les régions qui maximisent la vraisemblance par inférence bayesienne
- Affiche le spectre avec le meilleur fit

ForMoSA (Forward Modeling for Spectral Analysis)



Adaptation de la grille

 Interpolation des noeuds manquants de la grille atmosphérique

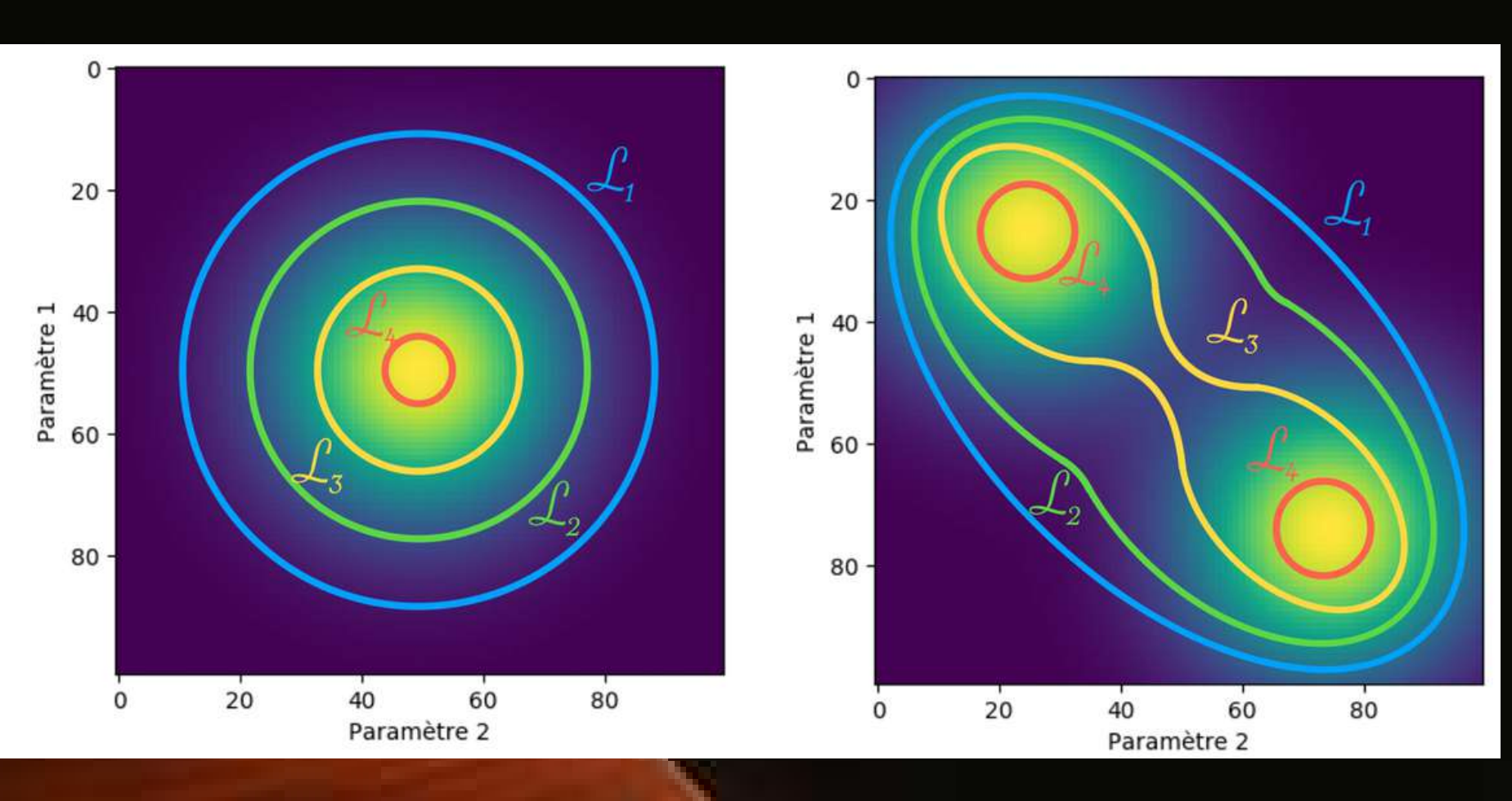


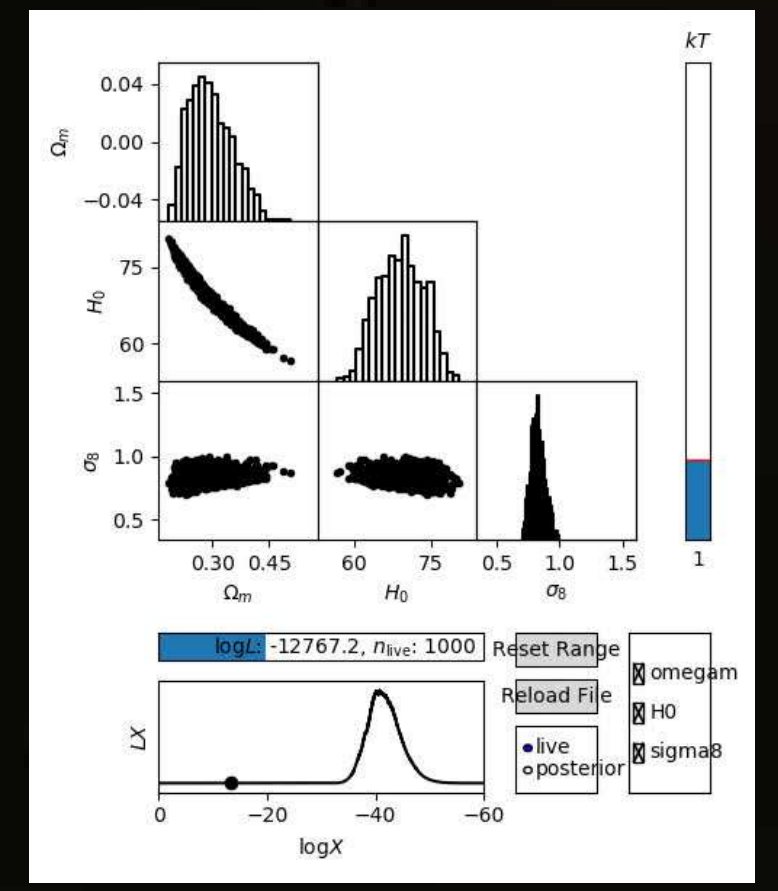
ForMoSA (Forward Modeling for Spectral Analysis)

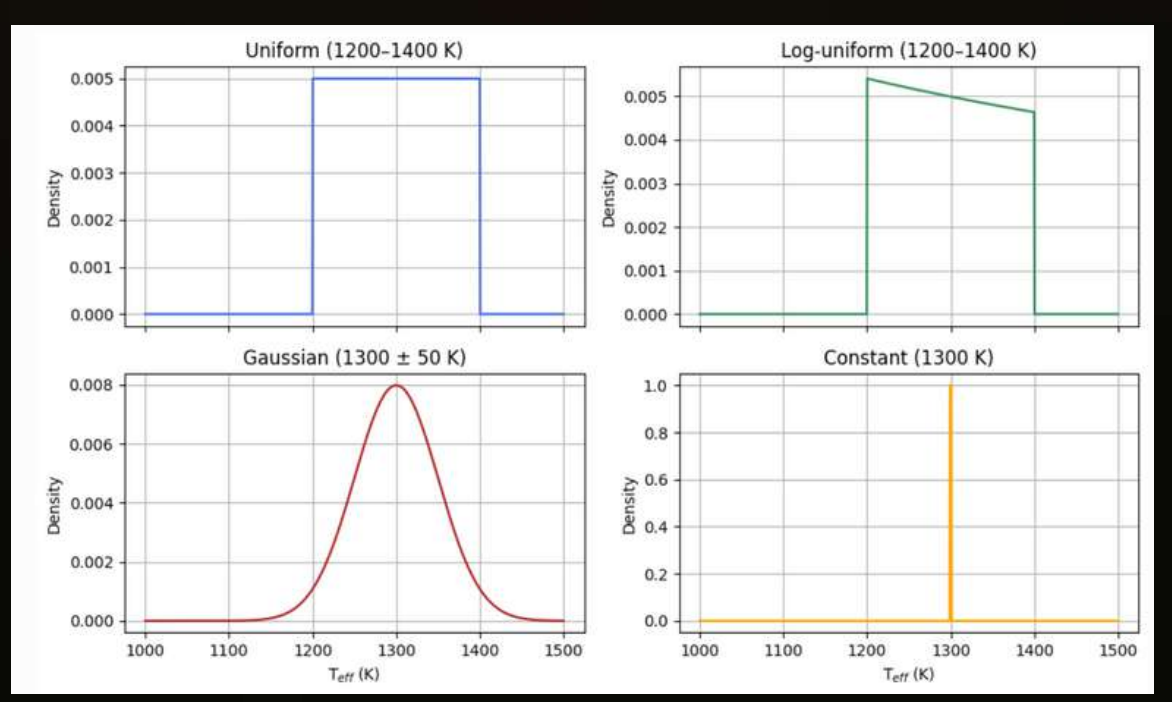


Adaptation de la grille

Nested Sampling







$$\chi^2 = \sum \left(\frac{d-m}{\sigma}\right)^2$$

$$\log(L) = -\frac{\chi^2}{2}$$

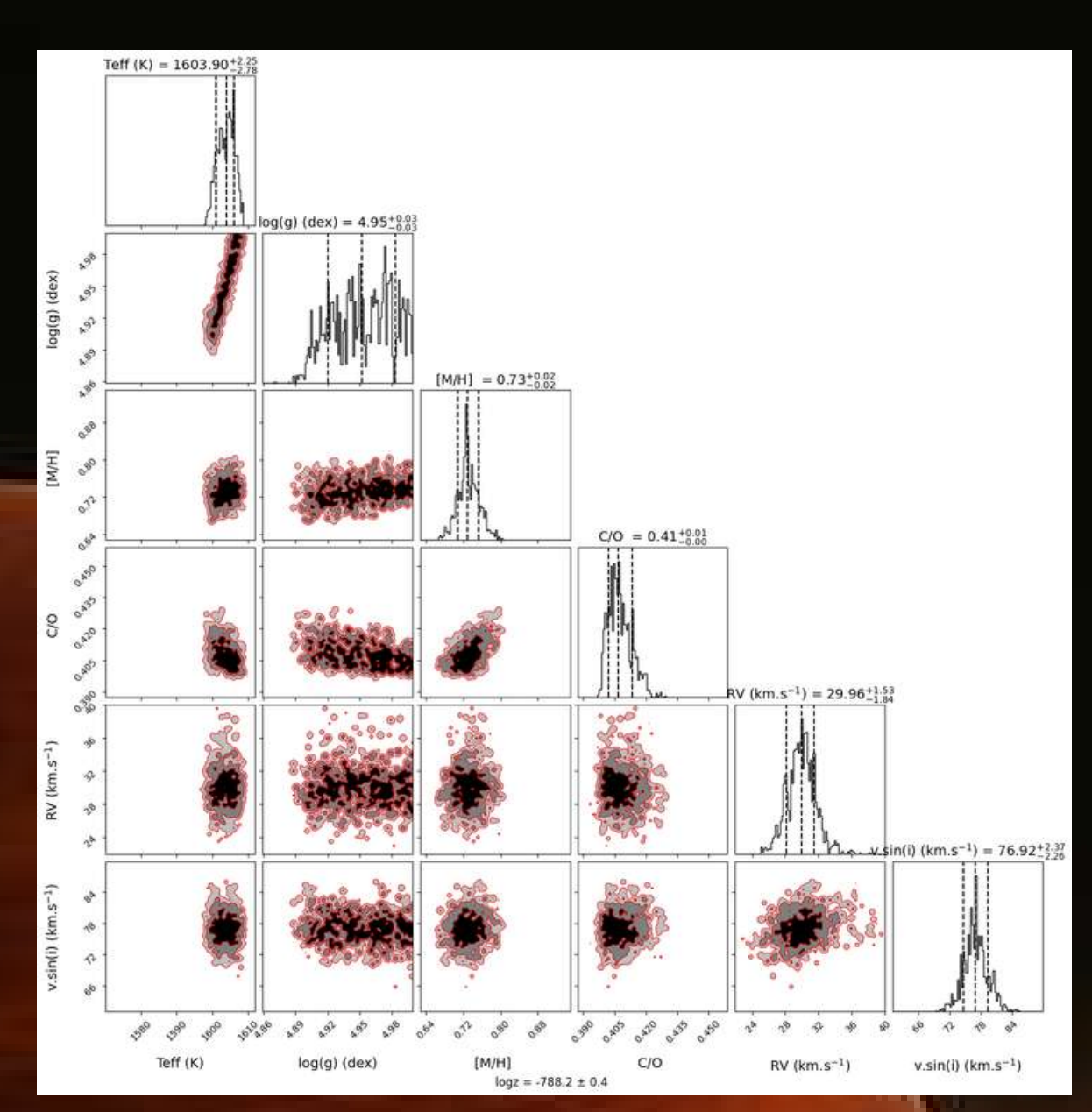
$$Z = \int L(\theta) \, \pi(\theta) \, d\theta$$

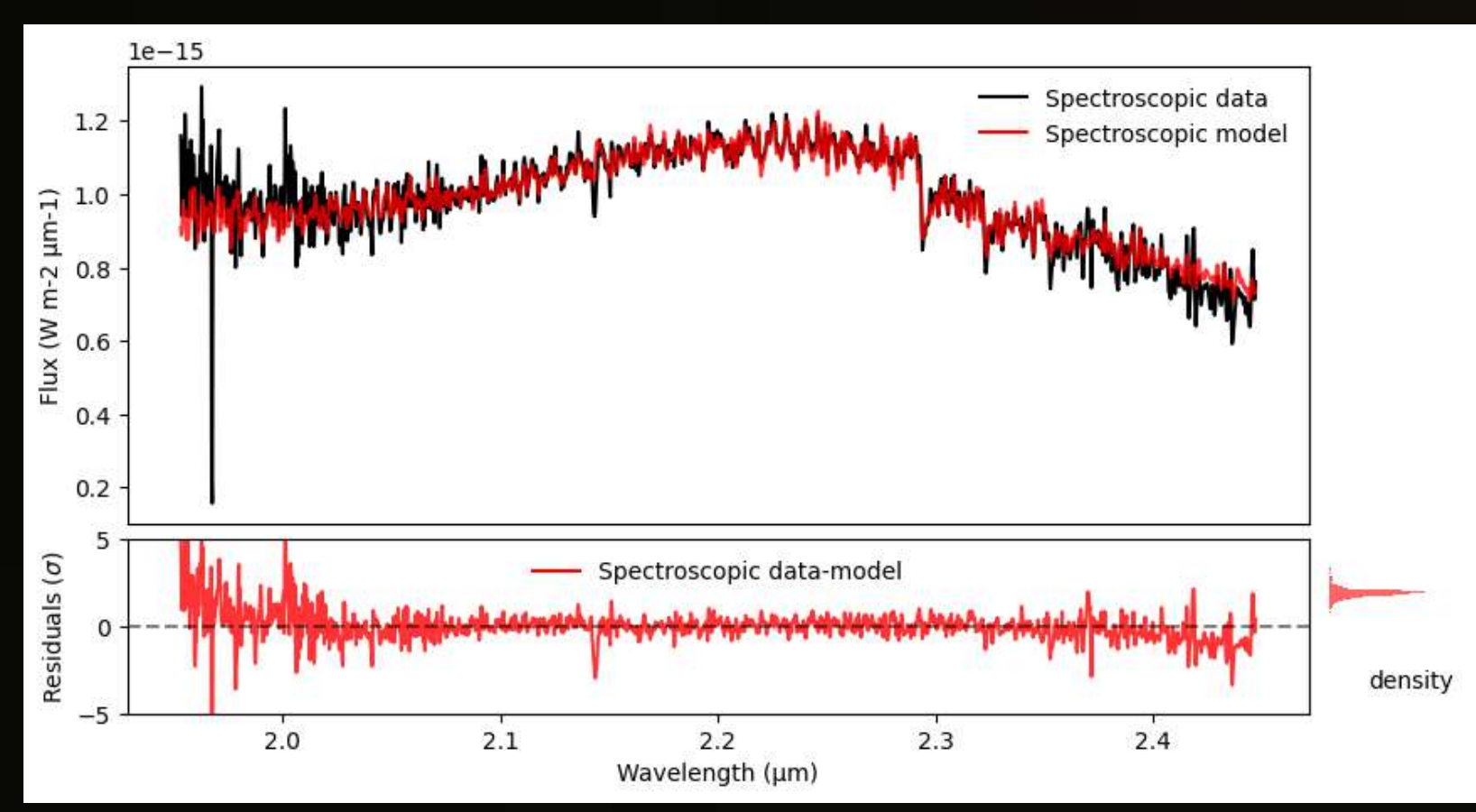
ForMoSA (Forward Modeling for Spectral Analysis)

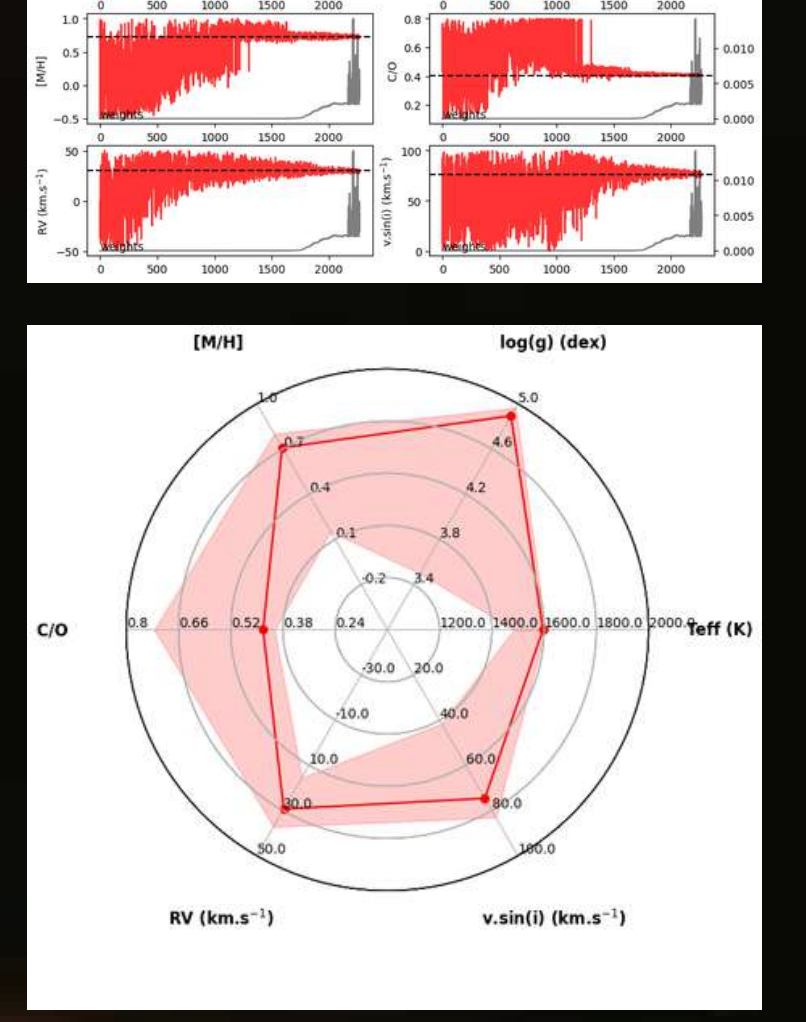


Adaptation de la grille

Nested Sampling Affichage des graphes







Grille d'atmosphère ExoREM



Paramètres:

- 1. Résout l'équilibre radiatif-convectif en 1D
- 2. Absorption de certaines molécules (H2O, CH4, CO, etc.)
- 3. Formation de nuages composé de (Fe, Si, Na2S, KCl, and H2O)
- 4. Plage de données :
- Température : 1200-2000 K
- log(g): 3.5 4.5
- [M/H]: -0,5 1
- [C/O]: 0,4 0,65

Pourquoi cete grille?

- Plages de données correspondant à DELORME AB b
- On suppose des nuages dans l'atmosphère de cet objet
- Résolution en accord avec les instruments utilisés

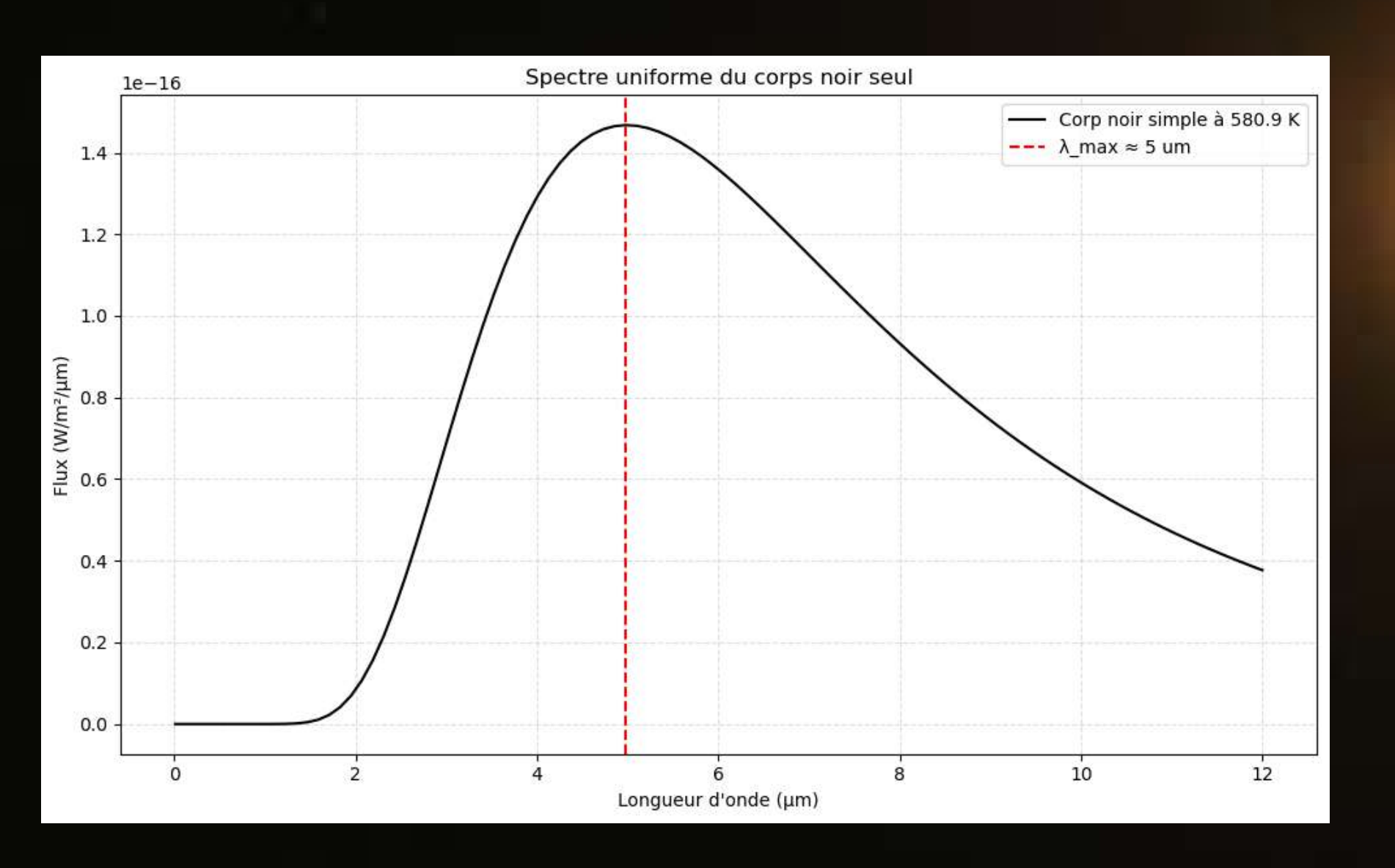
Modèles de corps noirs (inspiré de Cugno et al 2024)

Cas 1 : Corps noir simple



Température

T = température unique



Flux

$$F_{disk}(\lambda) = \left(\frac{R_{\rm BB}}{D}\right)^2 \pi \frac{2hc^2}{\lambda^5} \frac{1}{\exp\left(\frac{hc}{\lambda k_B T_{\rm BB}}\right) - 1} \cos(i_{BB})$$

Modèles de corps noirs (inspiré de Cugno et al 2024)

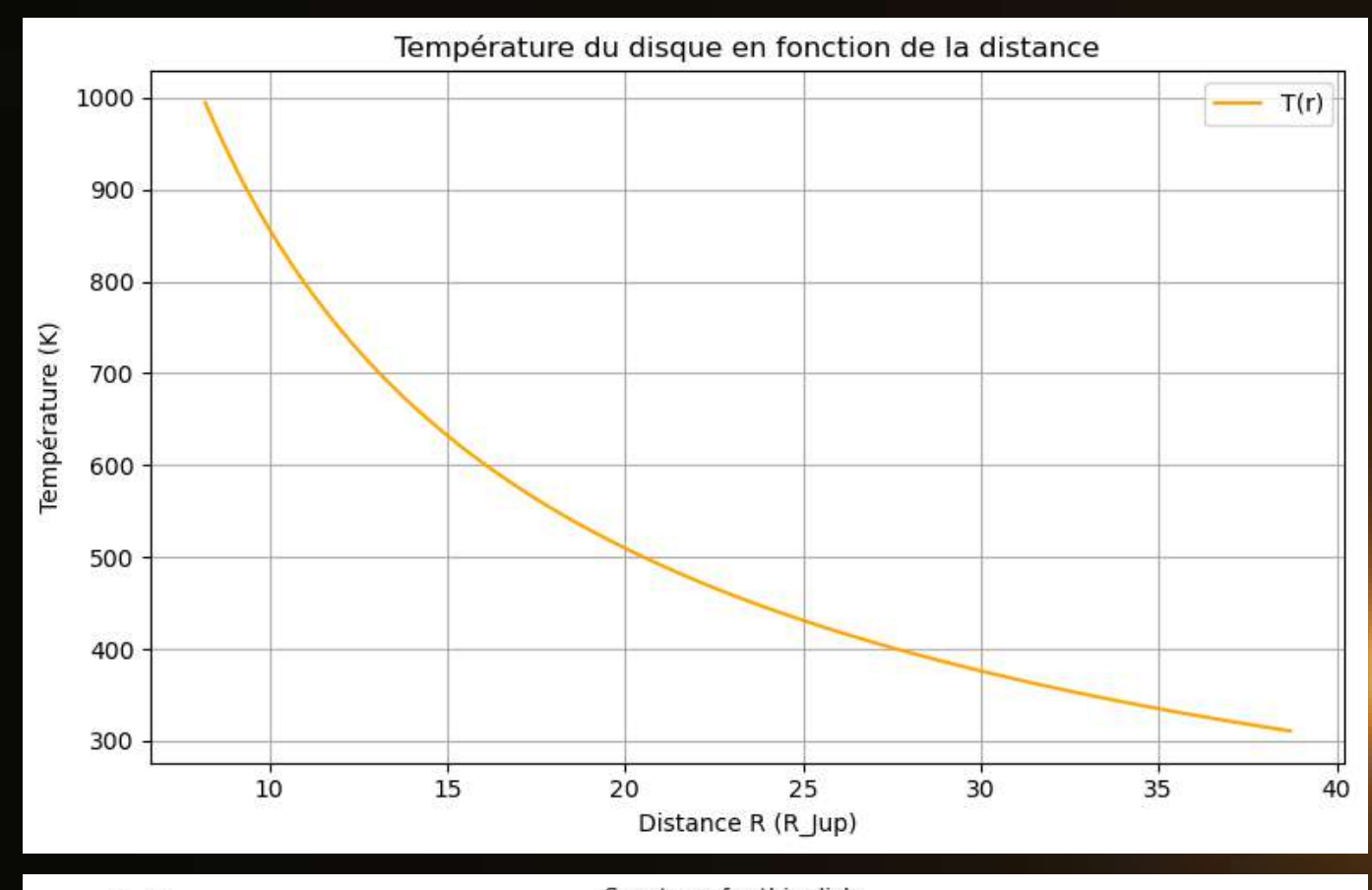
Cas 2 : Somme de corps noirs dans un disque fin

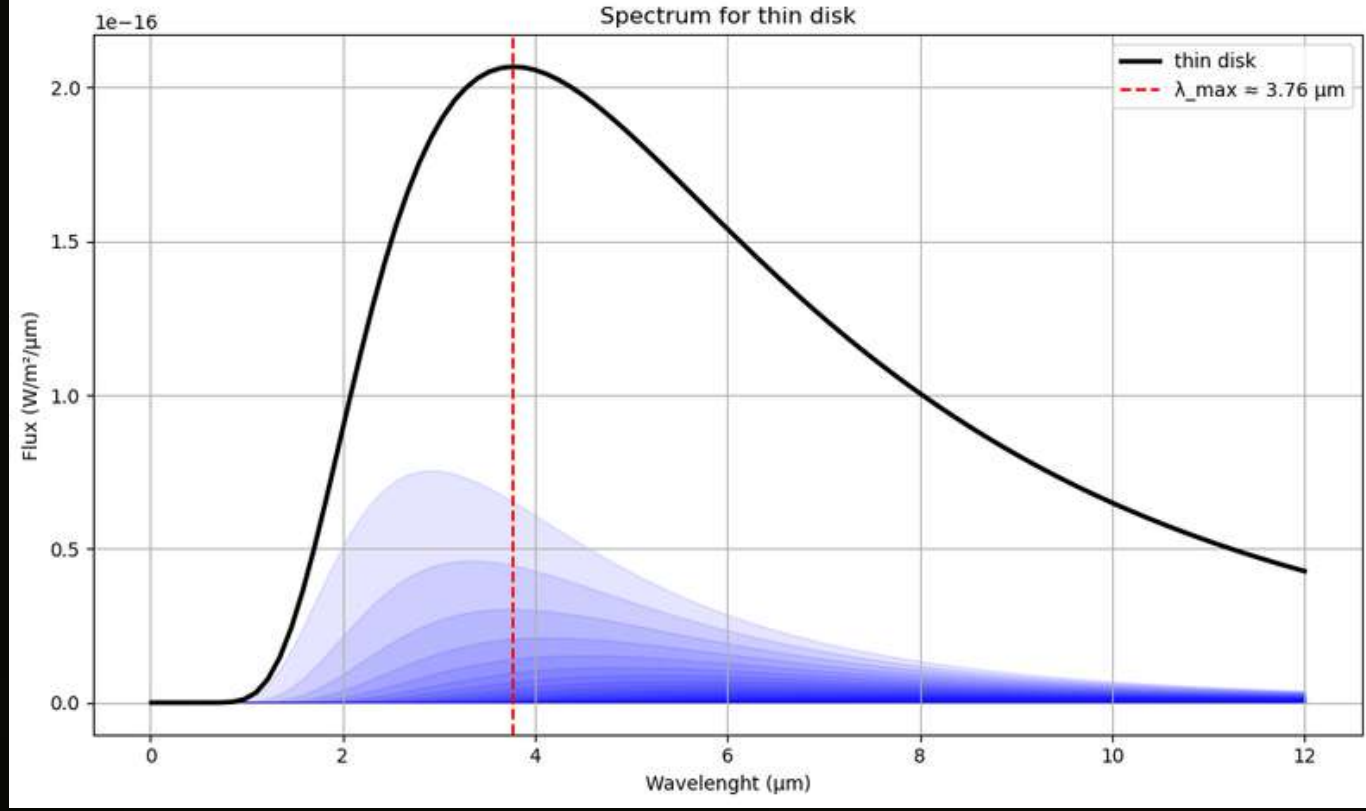


Température

$$T_d(r) = T_{eff} \times \left(\frac{2}{3\pi}\right)^{1/4} \left(\frac{r}{R_p}\right)^{-3/4}$$

Flux





$$F_{\text{disk}}(\lambda) = \int_{R_{\text{cav}}}^{R_{\text{out}}} \frac{2\pi r \, dr}{D^2} \, B_{\lambda}(T_d(r), \lambda) \cos(i)$$

16

Modèles de corps noirs (inspiré de Cugno et al 2024)

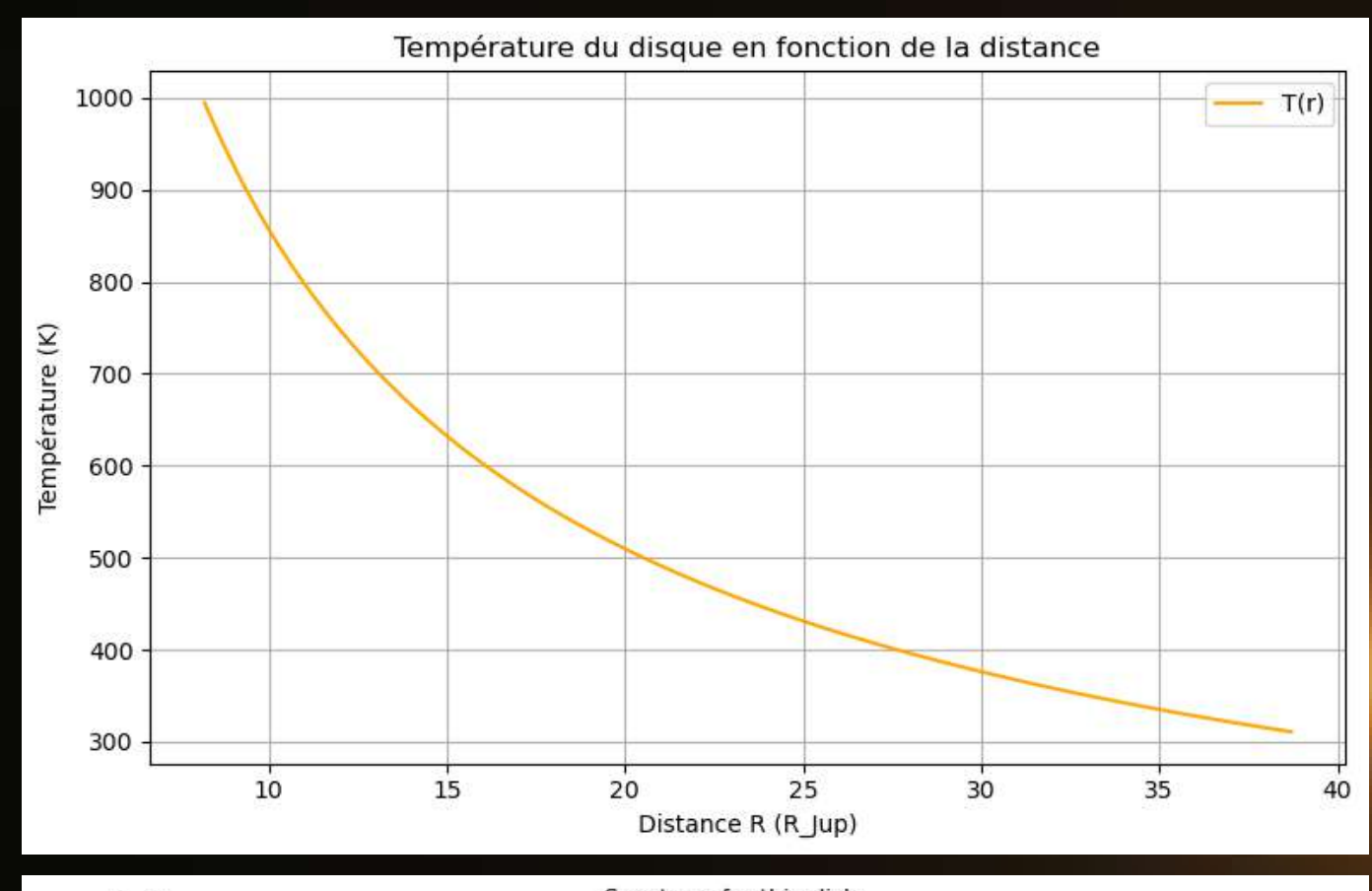
Cas 2 : Somme de corps noirs dans un disque fin

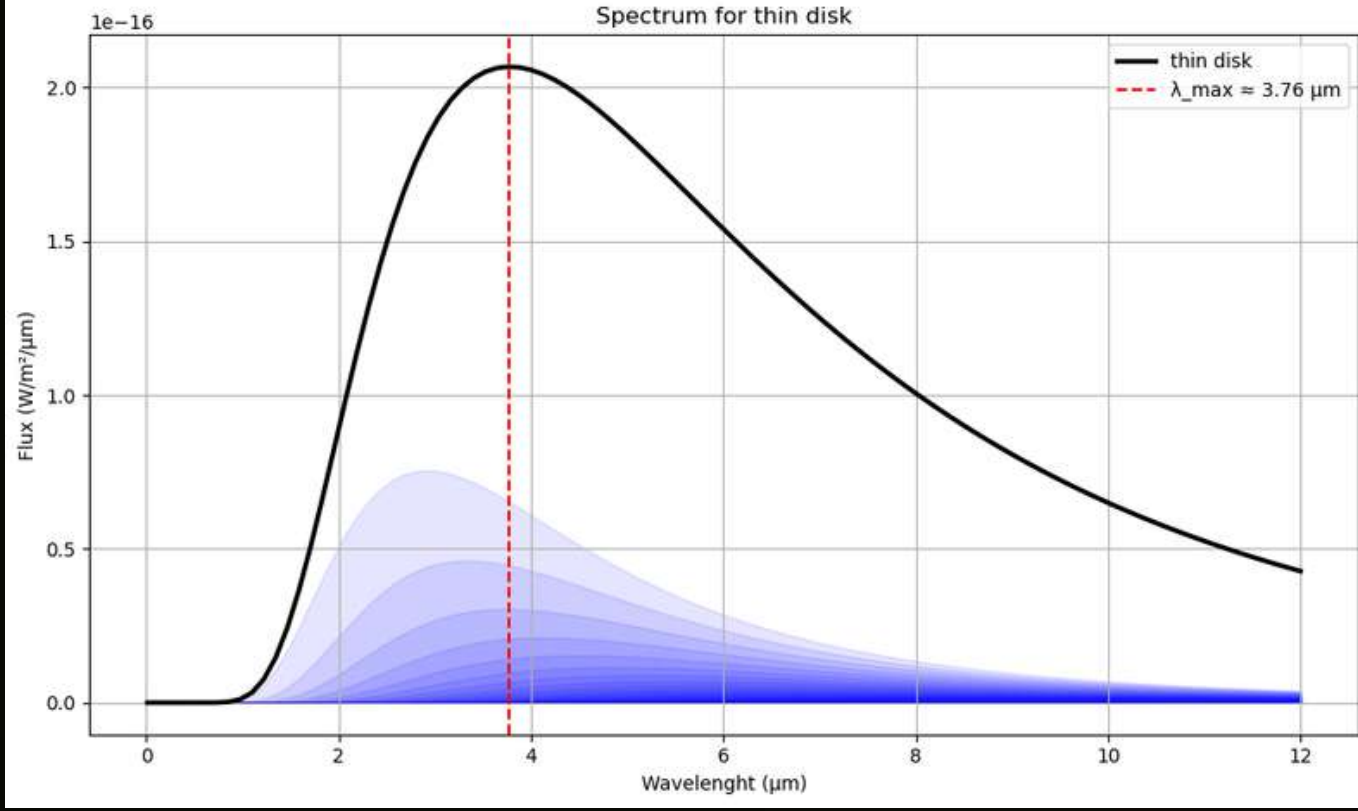


Température

$$T_d(r) = T_{eff} \times \left(\frac{2}{3\pi}\right)^{1/4} \left(\frac{r}{R_{\rm p}}\right)^{-3/4}$$

Flux

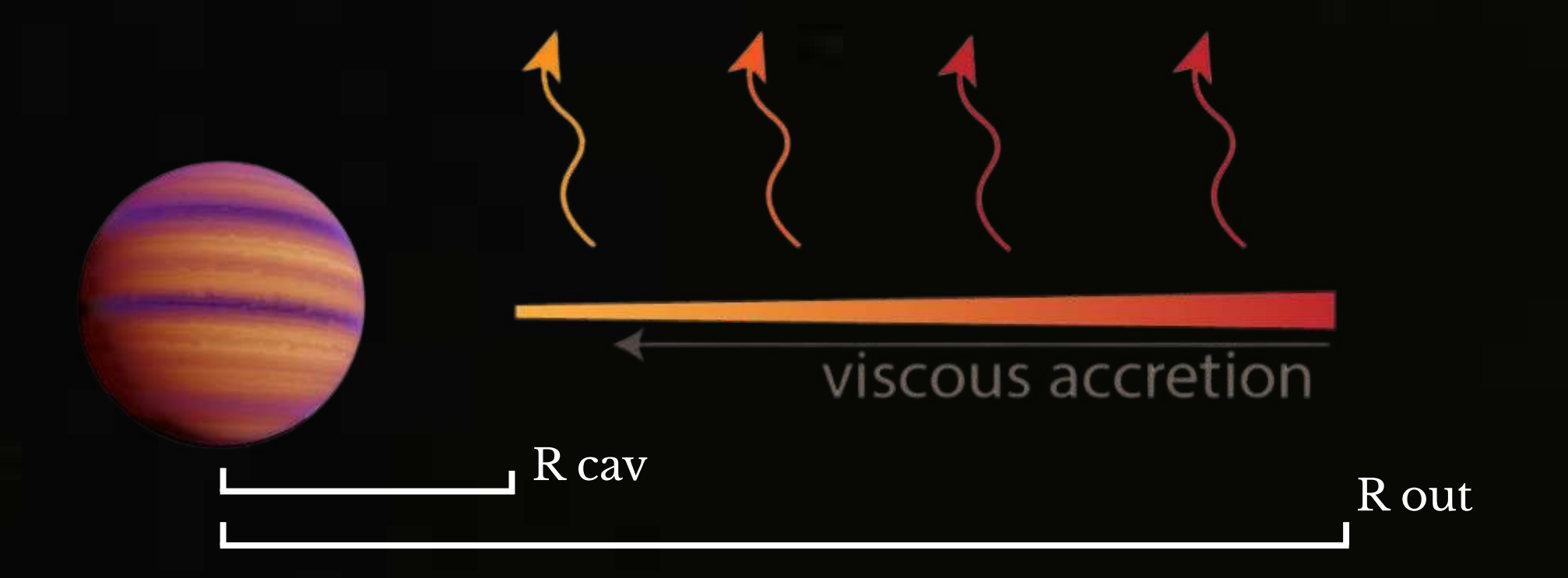




$$F_{\text{disk}}(\lambda) = \sum_{r=R_{\text{cav}}}^{R_{\text{out}}} \frac{2\pi r \, \Delta r}{D^2} B_{\lambda}(T_d(r), \lambda) \cos(i)$$

Modèles de corps noirs (inspiré de Cugno et al 2024)

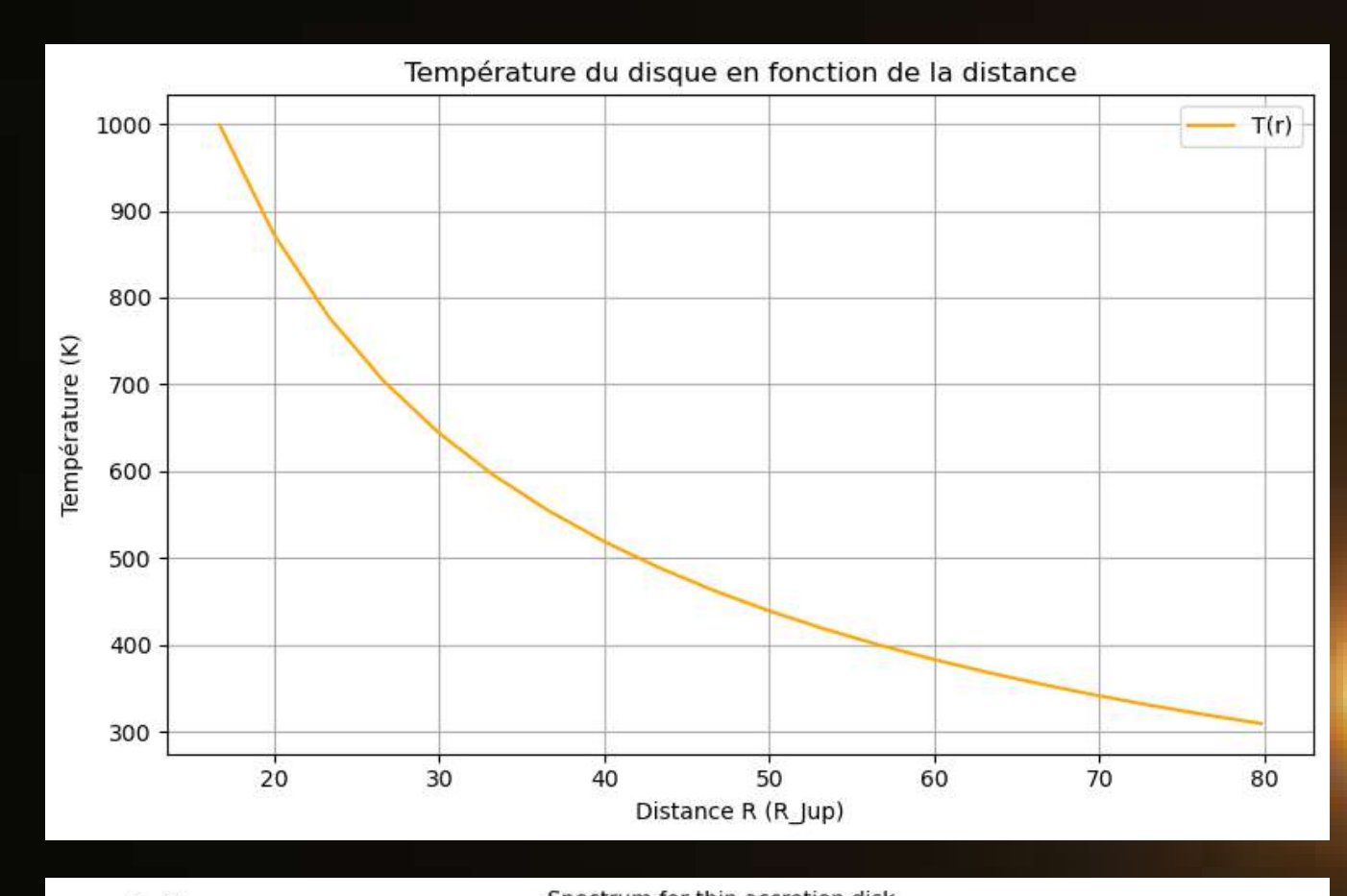
Cas 3 : Somme de corps noirs dans un disque fin en accrétion

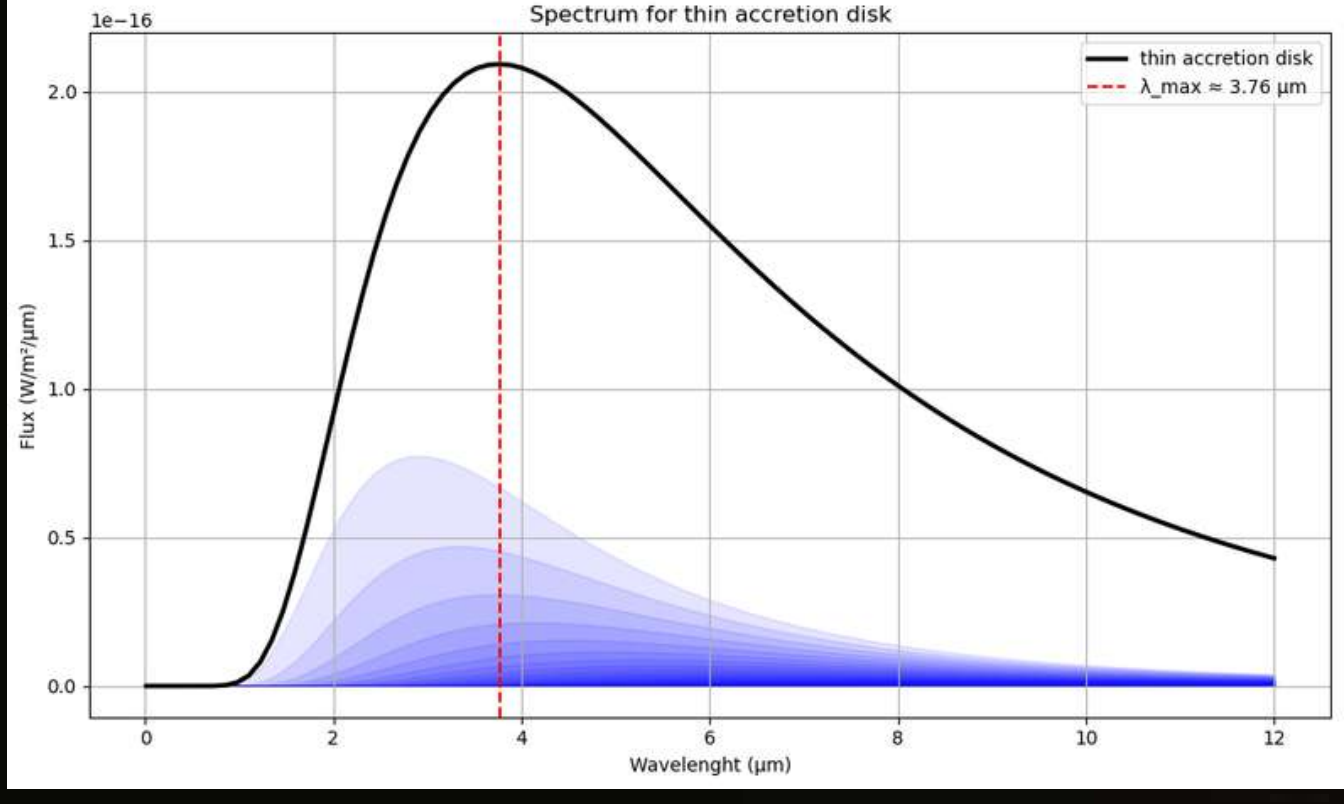


Température

$$T_d(r) = T_{\star} \times \left(\frac{2}{3\pi}\right)^{1/4} \left(\frac{r}{R_p}\right)^{-3/4} + \left(\frac{GM_p\dot{M}}{8\pi\sigma r^3}\right)^{1/4}$$

Flux

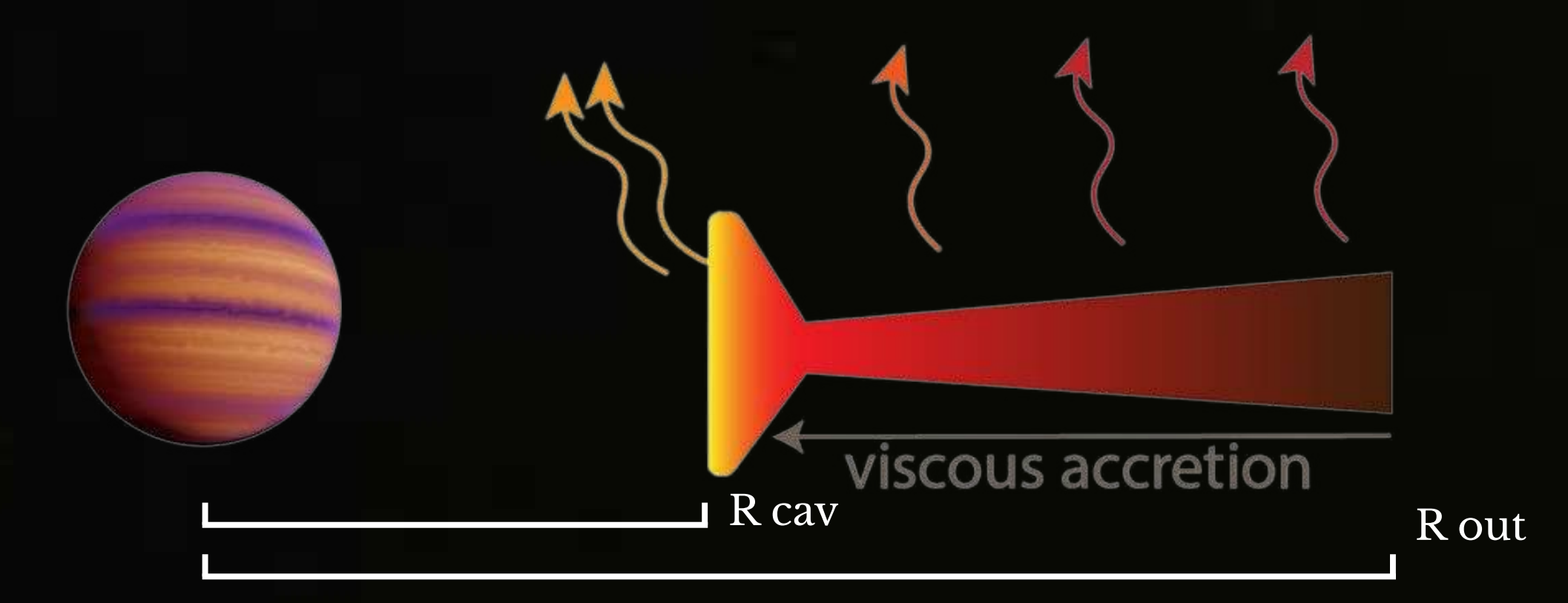




$$F_{\text{disk}}(\lambda) = \sum_{r=R_{\text{cav}}}^{R_{\text{out}}} \frac{2\pi r \, \Delta r}{D^2} B_{\lambda}(T_d(r), \lambda) \cos(i)$$

Modèles de corps noirs (inspiré de Cugno et al 2024)

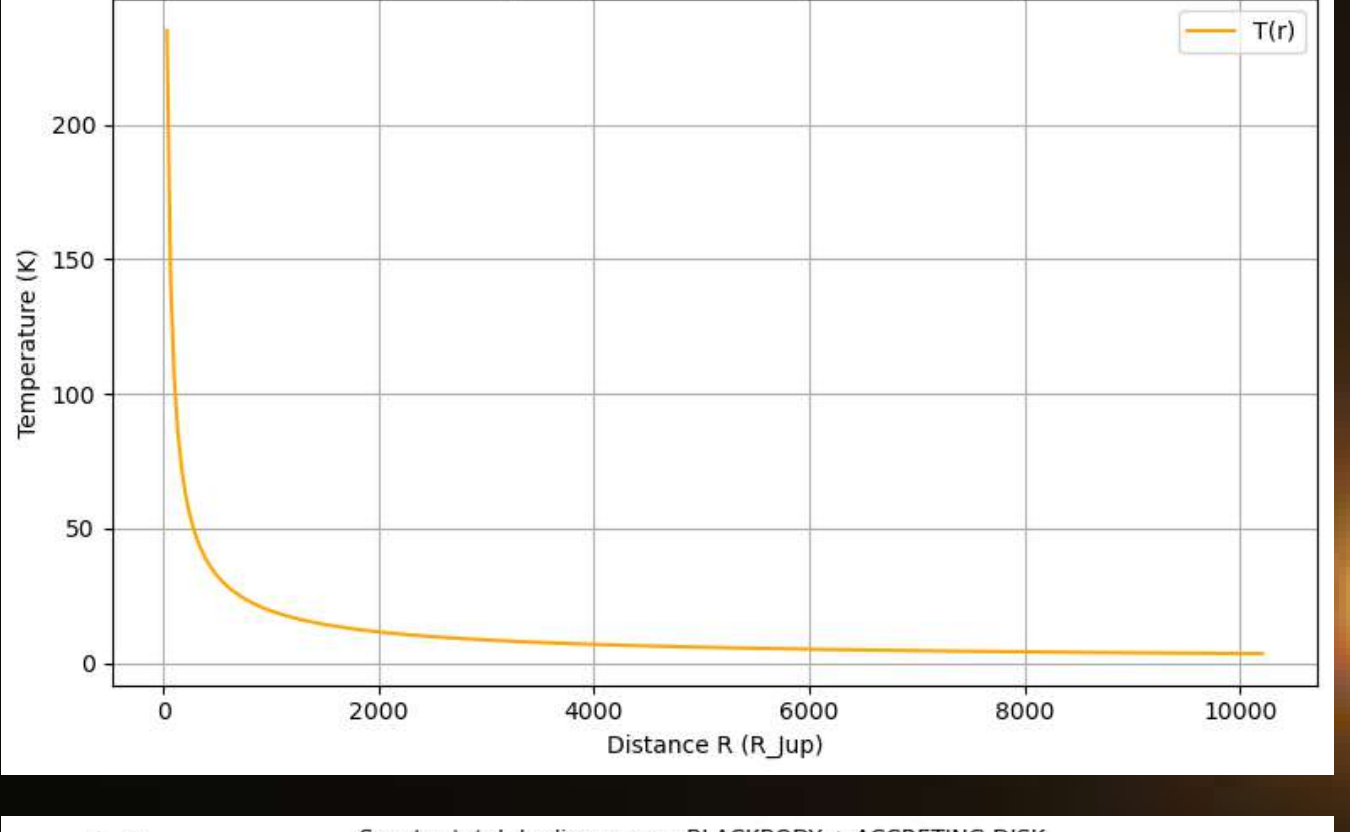
Cas 4 : Corps noir simple + somme de corps noirs dans un disque accrétant



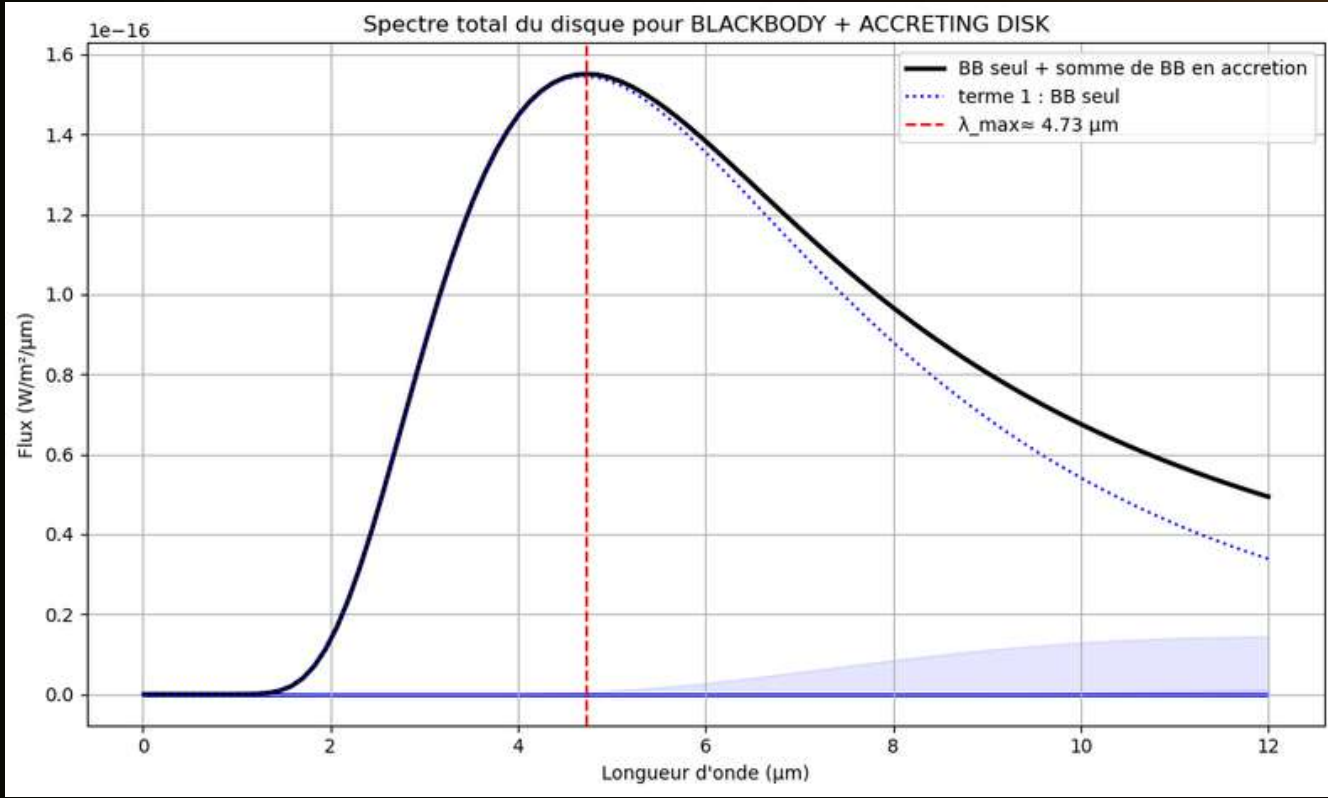
Température

$$T_d(r) = \left(\frac{GM_p\dot{M}}{8\pi\sigma r^3}\right)^{1/4}$$





Disk temperature in function of the distance R

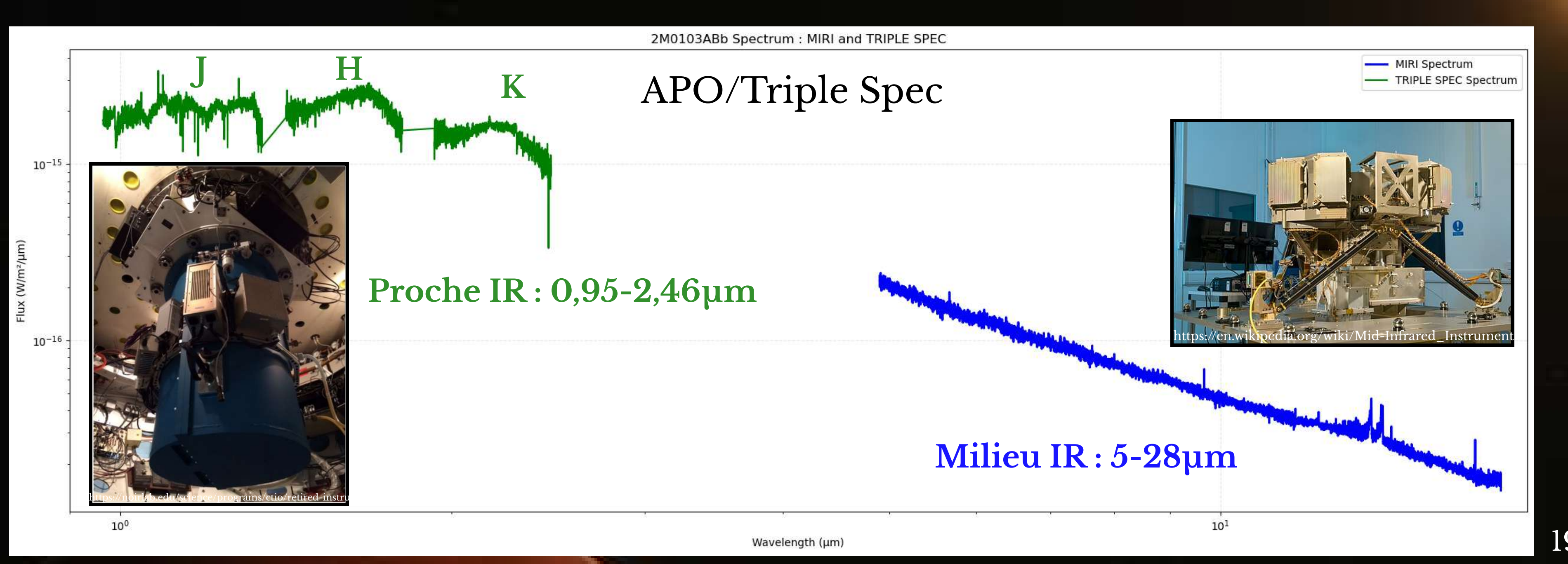


$$F_{disk}(\lambda) = B_{\lambda}(T_{disk}^{BB}(r), \lambda) \times \frac{R_{BB}^2}{D^2} \cos(i_{BB}) + \int_{R_{cav}^{BB}}^{R_{out}} \frac{2\pi r dr}{D^2} B_{\lambda}(T_d(r), \lambda) \cos(i)$$

Spectre DELORME AB b avec JWST/MIRI et APO/Triple Spec

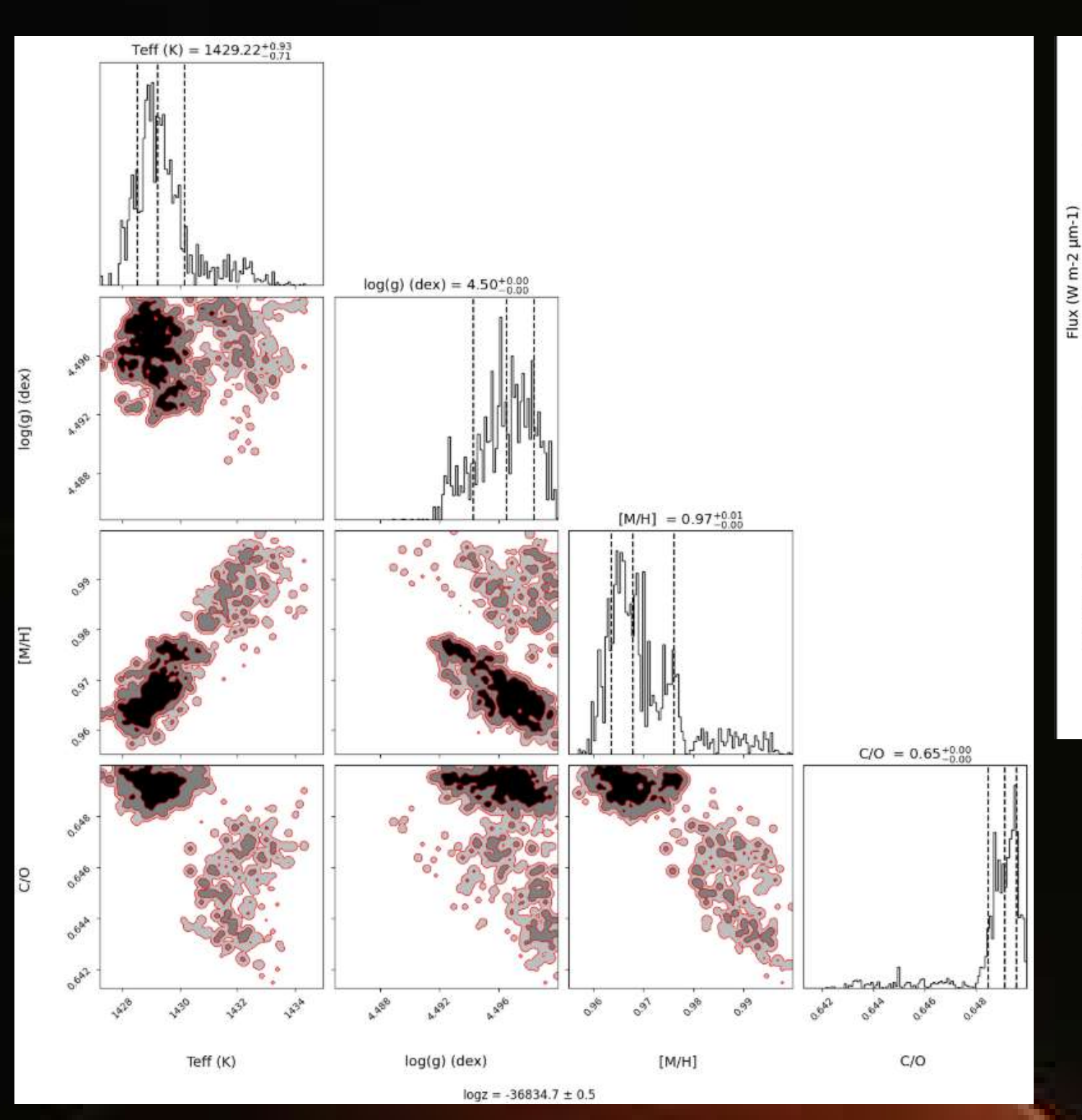
Triple Spec est un spectrographe dans le proche infrarouge installé sur le télescope de 3,5 mètres de l'observatoire d'Apache Point (APO).

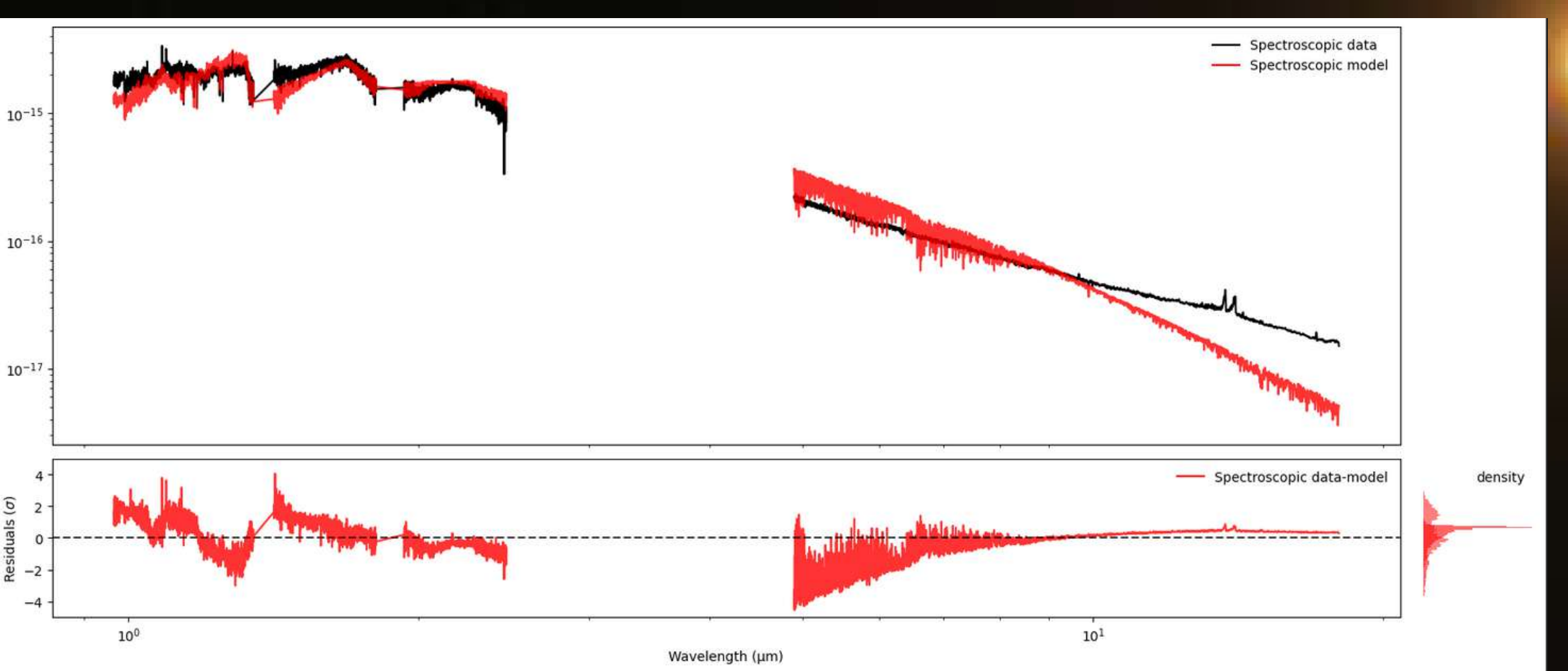
Mid-Infrared Instrument combine une caméra et un spectrographe à champ intégral. Il est installé sur le télescope spatial James Webb (JWST).



Inversion de DELORME AB b avec ForMoSA

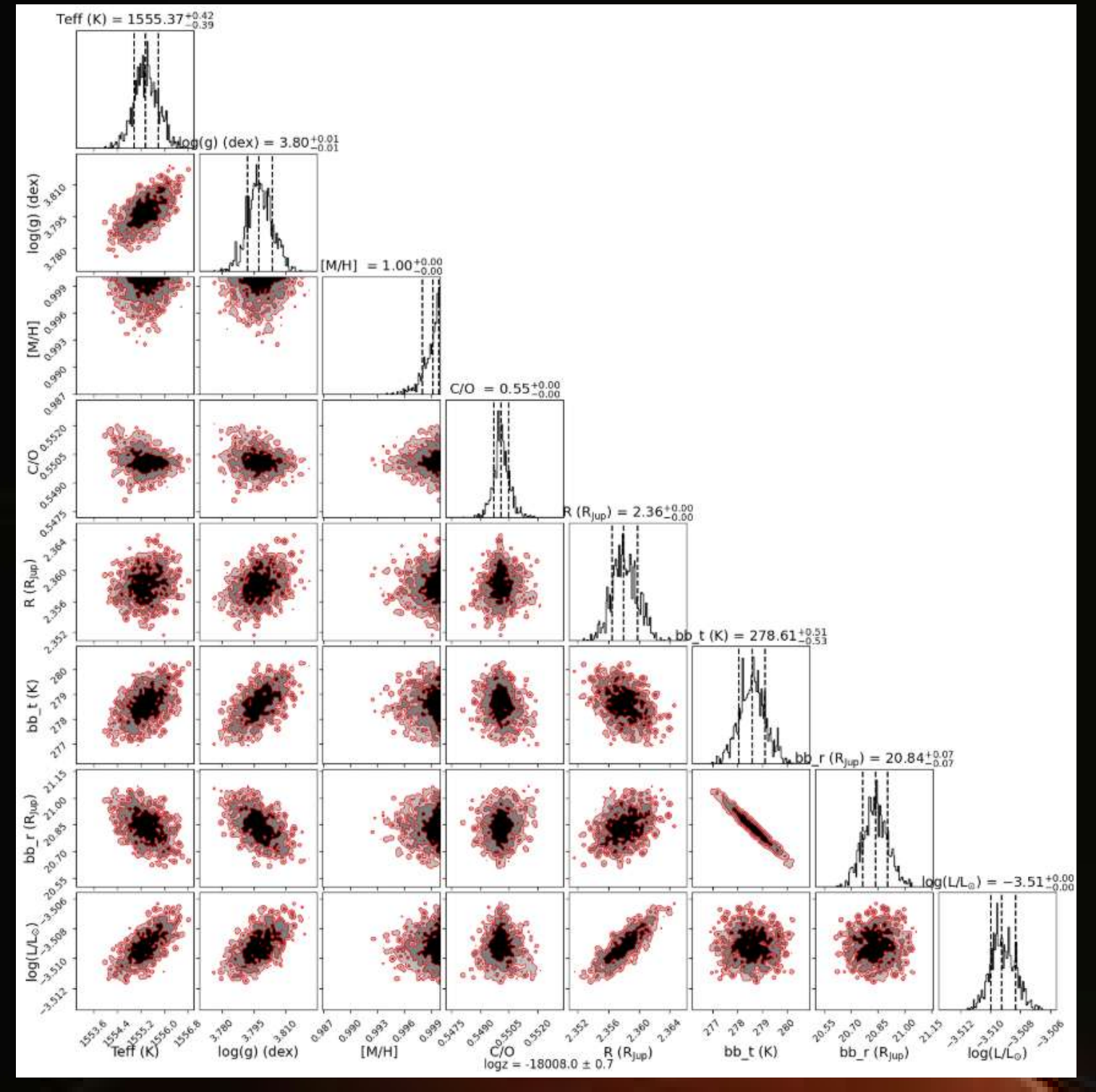
Sans CPD

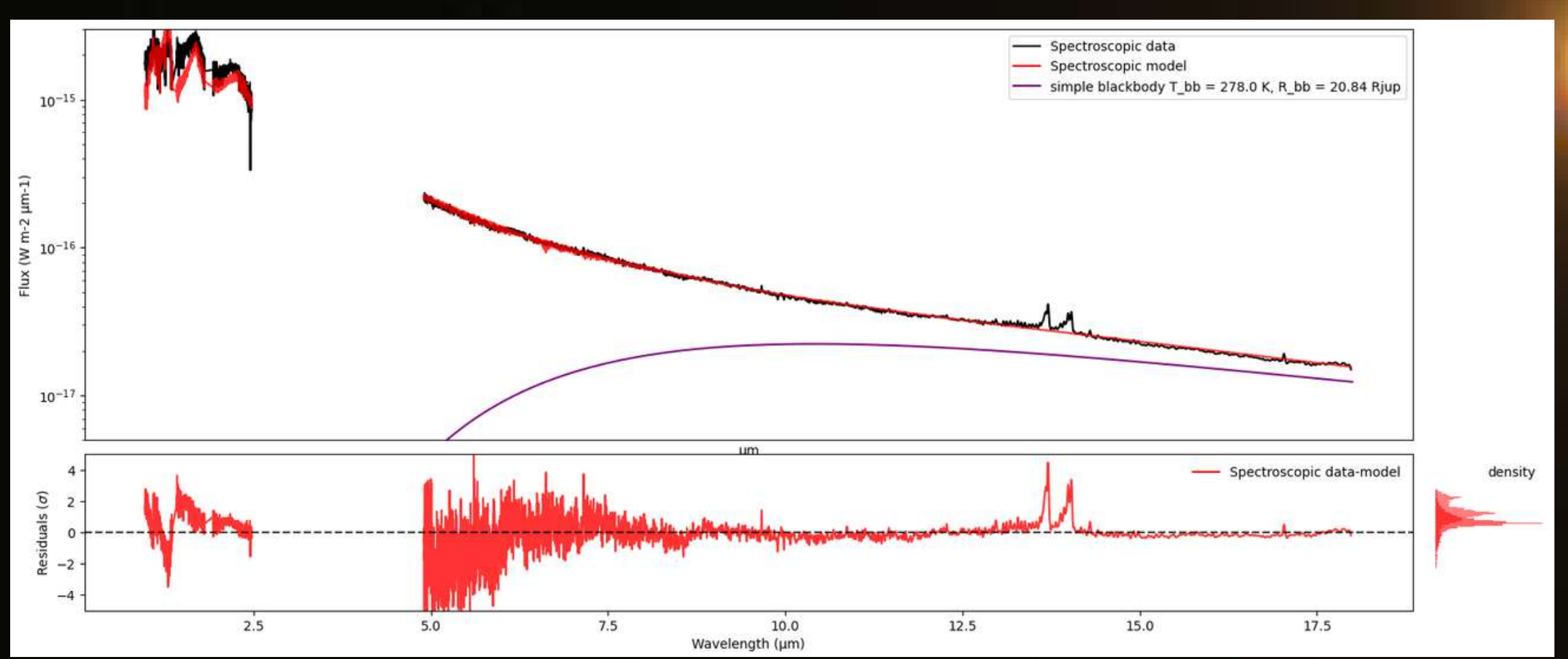




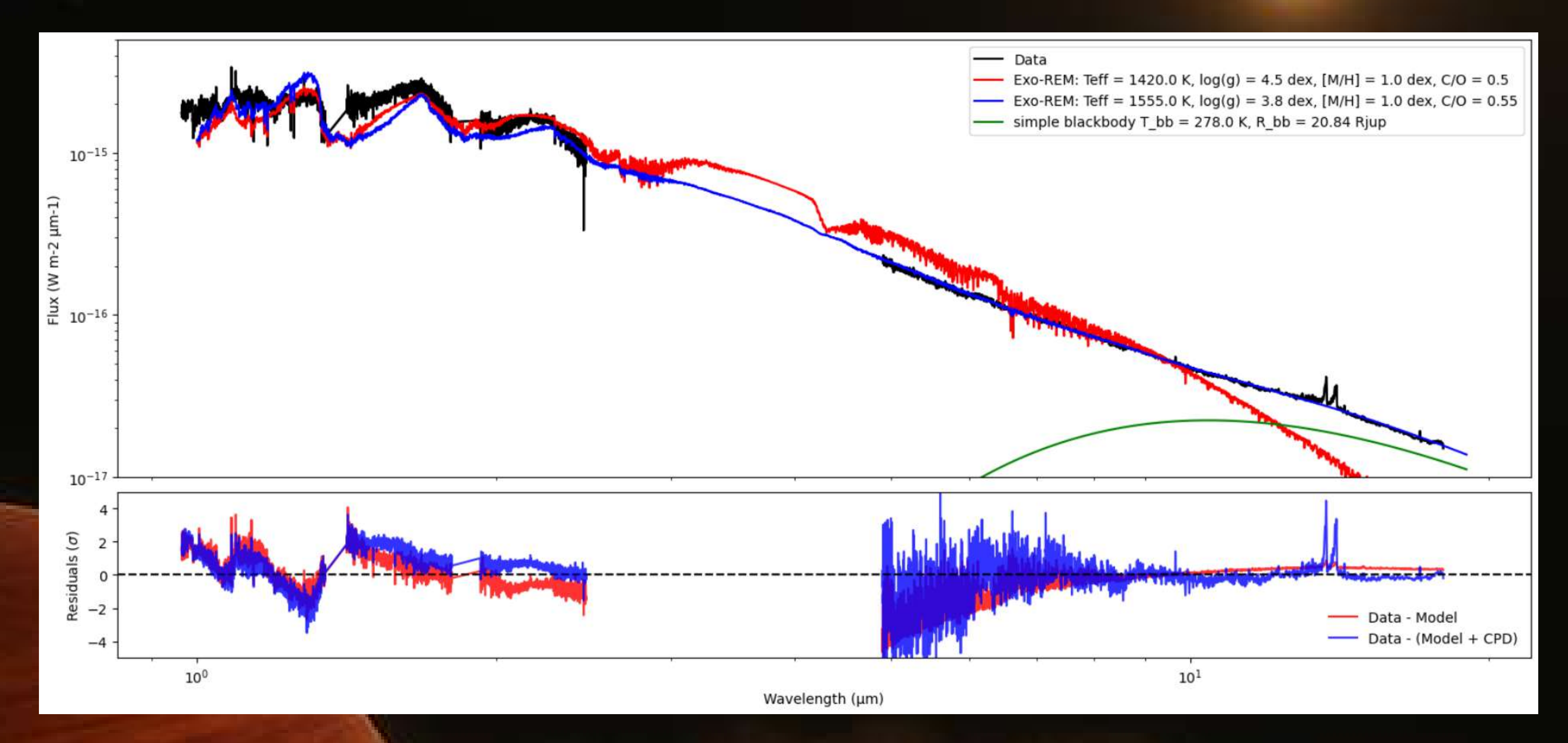
Inversion de DELORME AB b avec ForMoSA

Avec CPD (cas 1 : corps noir simple)





$$\longrightarrow \log(z) = -18808$$



log(z) amélioré d'un facteur 2!

Répartition du temps

Semaine 1 à 2:

Bibliographie

Semaine 3 à 8 :

- Création des modèles de corps noirs
- Résolution de problèmes informatiques aux débuts de ForMoSA

Semaine 9:

• Implémentation des corps noirs dans ForMoSA (pas fini)

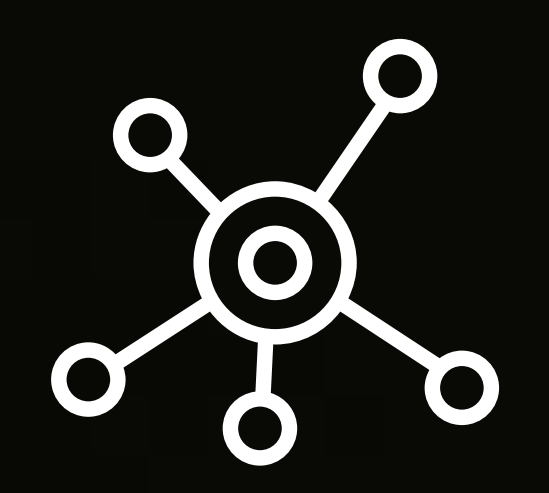
Semaine 9-10:

- Rédaction rapport
- Rédaction slides

Conclusions & Perspectives

Conclusions

- 4 modèles de cops noirs developés considérant un gradient de température et de l'accrétion
- Spectre de DELORME AB b traité et complété avec Triple Spec et MIRI
- Ajouter un CPD (corps noir) améliore signicativement l'évidence



Perspectives

- Utiliser une grille d'atmosphérique plus complète (avec d'autre paramètres)
- Implémenter les 3 autres modèles de corps noir
- Tester avec la partie Gaz développée par Damien BORJA
- Compléter le spectre de l'objet sur d'autres longueurs d'onde
- Appliquer l'inversement sur d'autres objets avec
 CPD confirmés
- Utiliser les données des futurs instruments
 VLT/SPHERE + (2027) et ELT/METIS (2030)

Retour personnel

Très bonne expérience humaine et scientifique, partiticaption à des conférences au MPIA et à l'international (METIS)

Amélioration de mon anglais

Amélioration en programmation Python

Futur stage et thèse à l'étranger?

Remerciements

Tuteurs de stage:

Gaël CHAUVIN Matthieu Ravet

Equipe ExoWorld Imaging

Collègues/Amis

Remerciements

Tuteurs de stage:

Gaël CHAUVIN Matthieu Ravet

Equipe ExoWorld Imaging





Collègues/Amis











Annexes

Comparaison de deux modèles avec des évidences log(Z)

- 1 logarithme du facteur de Bayes : log(B) = |log(Z1) log(Z2)|
- 2 facteur de Bayes : B=10^(log(B))
- **3** Niveau de confiance $\sigma \approx 2 \operatorname{rac}[\log(B)]$
- Valeur de σ élevée signifie que le modèle préféré est significativement meilleur que l'autre.

Annexe

Histoire exoplanète

• Concept naines brunes proposé par l'américain Shiv Kumar (américain) et Chushiro Hayashi et Takenori Nakano (japonais)

Antiquité

1963



• Nouvelles méthodes : Transits (photométrie) Imagerie directe Microlentille gravitationnelle

• Lancement du télescope Spitzer (2003)

https://trustmyscience.com/existence-5000-exoplanetes-officiellement-confirmee-par-nasa/

- +5 600 exoplanètes confirmées
- JWST, HST, Gaia ...
- compréhension de la formation, composition, évolution des exoplanètes

Temps

1995

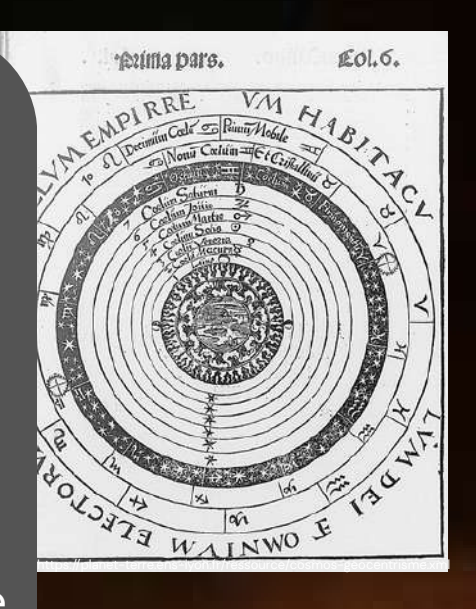
Années 2000

2009-2018

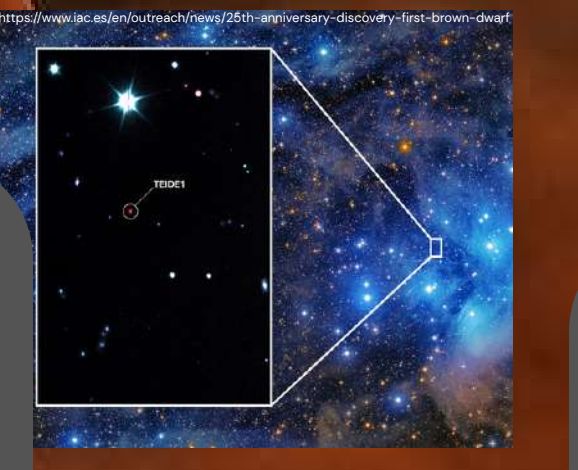
30% GAS GIANT

Existence d'autres mondes prédite depuis l'Antiquité

- Modèles de formation stellaire suggérant d'autres systèmes planétaires (Table Ptolémée)
- Pas de détection directe



- Découverte de Teide 1, Première naine brune confirmée Découverte par Mayor & Queloz (vitesse radiale)
- 1ère exoplanète autour d'une étoile de type solaire



Aujourd'hui



• Mission Kepler: Plus de 2 600 exoplanètes confirmées

Annexes

Paramètres modèles Cugno et al. 2024 sur GQ Lup B

Table 1. Summary of the parameters used for the SED fit of GQ Lup B.						
Parameter	Range	No disk	Blackbody	Geom. thin	Geom. thin opt.	Blackbody+
				opt. thick disk	thick accr. disk	accr. disk
$T_{ m eff}$	2500 - 2900	2700 ± 18	2718 ± 16	2717 ± 14	2717 ± 14	2719 ± 14
$\log(g)$	3.3 - 4.9	4.85 ± 0.13	4.86 ± 0.12	4.93 ± 0.09	4.93 ± 0.09	4.91 ± 0.11
$R_{\rm p}~[R_{ m J}]$	0.7 - 4.0	3.71 ± 0.02	3.68 ± 0.02	3.60 ± 0.03	3.60 ± 0.03	3.67 ± 0.02
A_V [mag]	0.0 - 5.0	2.60 ± 0.06	2.55 ± 0.06	2.43 ± 0.08	2.42 ± 0.08	2.53 ± 0.06
\mathbf{a}_J	0.5 - 1.5	1.27 ± 0.01	1.26 ± 0.01	1.24 ± 0.01	1.24 ± 0.01	1.26 ± 0.01
\mathbf{a}_H	0.5 - 1.5	1.07 ± 0.01	1.06 ± 0.01	1.04 ± 0.01	1.04 ± 0.01	1.06 ± 0.01
$\mathrm{b}_{\mathrm{MUSE}}$	(*)	-31.71 ± 0.06	-31.70 ± 0.06	-31.69 ± 0.06	-31.69 ± 0.06	-31.70 ± 0.06
$b_{SINFONI}$	(*)	-31.88 ± 0.05	-31.90 ± 0.05	-31.93 ± 0.05	-31.93 ± 0.04	-31.91 ± 0.04
T_{BB} [K]	200 - 900	-	580.9 ± 4.2	_	2 <u>—</u>	616.6 ± 11.4
$R_{\mathrm{BB}} \ [R_{\mathrm{J}}]$	1 - 100	-	27.6 ± 0.3	-	2	24.4 ± 0.9
$R_{\rm cav} [R_{ m J}]$	3 - 100	-	$40.3 \pm 0.7^{\dagger}$	8.2 ± 0.8	16.7 ± 1.6	$35.7 \pm 1.4^{\dagger}$
$R_{ m out} \ [R_{ m J}]^{\ddagger}$	20 - 21000	-	_	38.7 ± 5.2	79.8 ± 10.8	10209 ± 4649
<i>i</i> [°]	0 - 90	V2===A		71.2 ± 2.0	85.6 ± 0.5	24.7 ± 17.8
$\chi^2_{ m MRS}$		970	1.81	1.64	1.64	1.66

Annexes

Spectre DELORME AB b

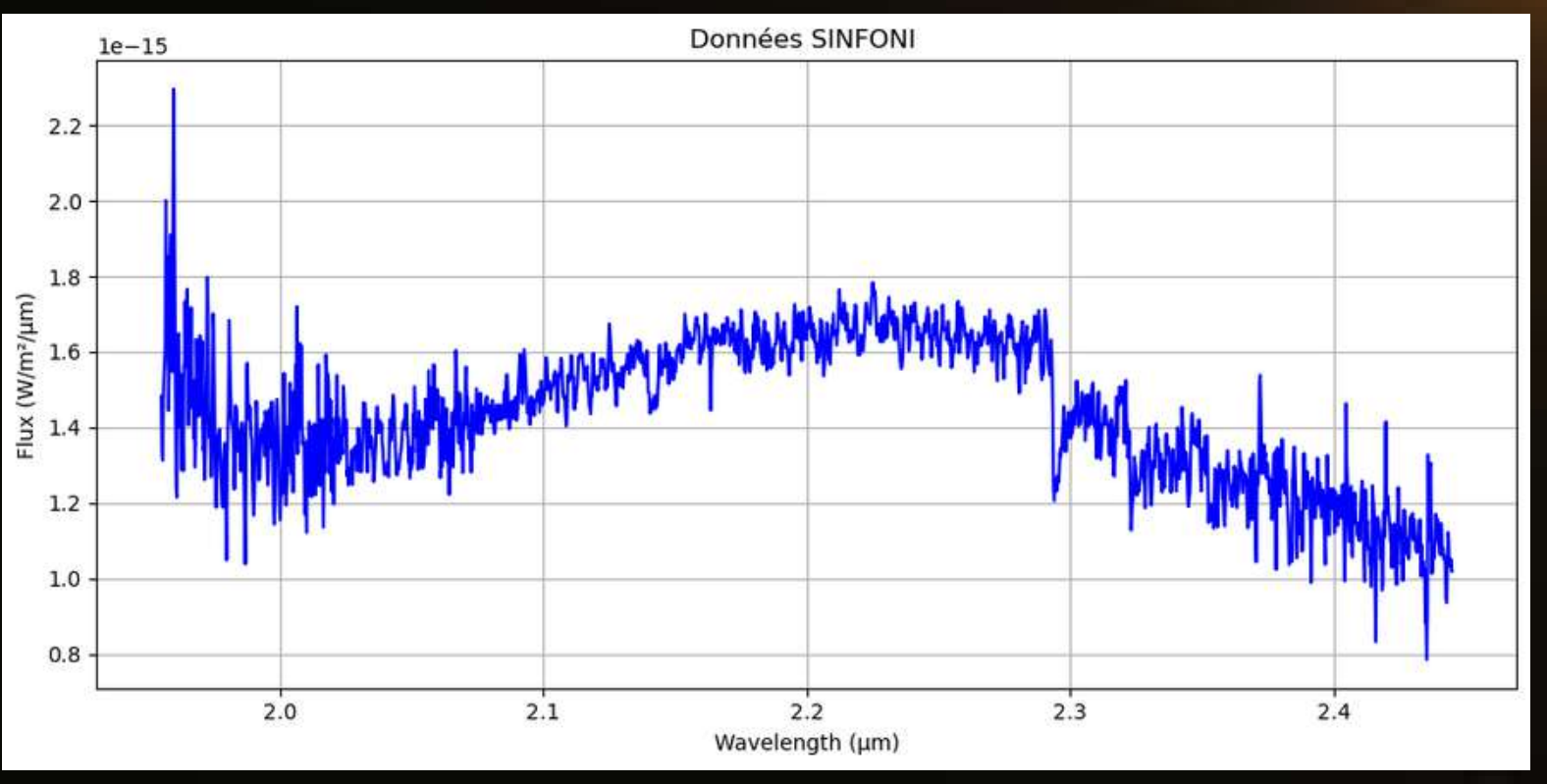
VLT/SINFONI

JWST/MIRI

VLT/UVES

APO/Triple Spec





Proche IR : 1,95-2,44µm

Spectre DELORME AB b

VLT/SINFONI

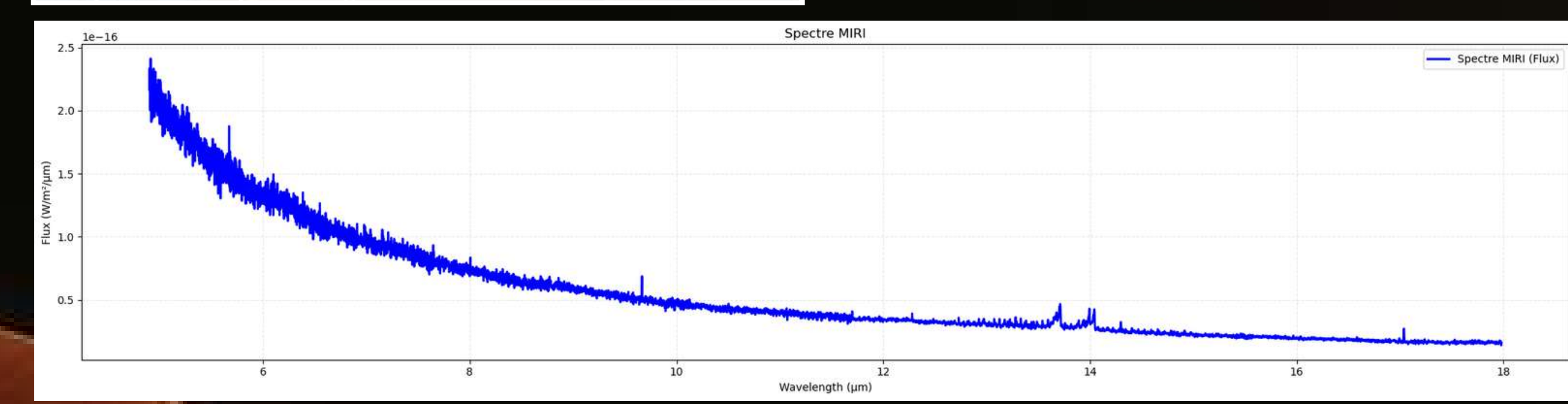
JWST/MIRI

VLT/UVES

APO/Triple Spec



Milieu IR: 5-28µm



Spectre DELORME AB b

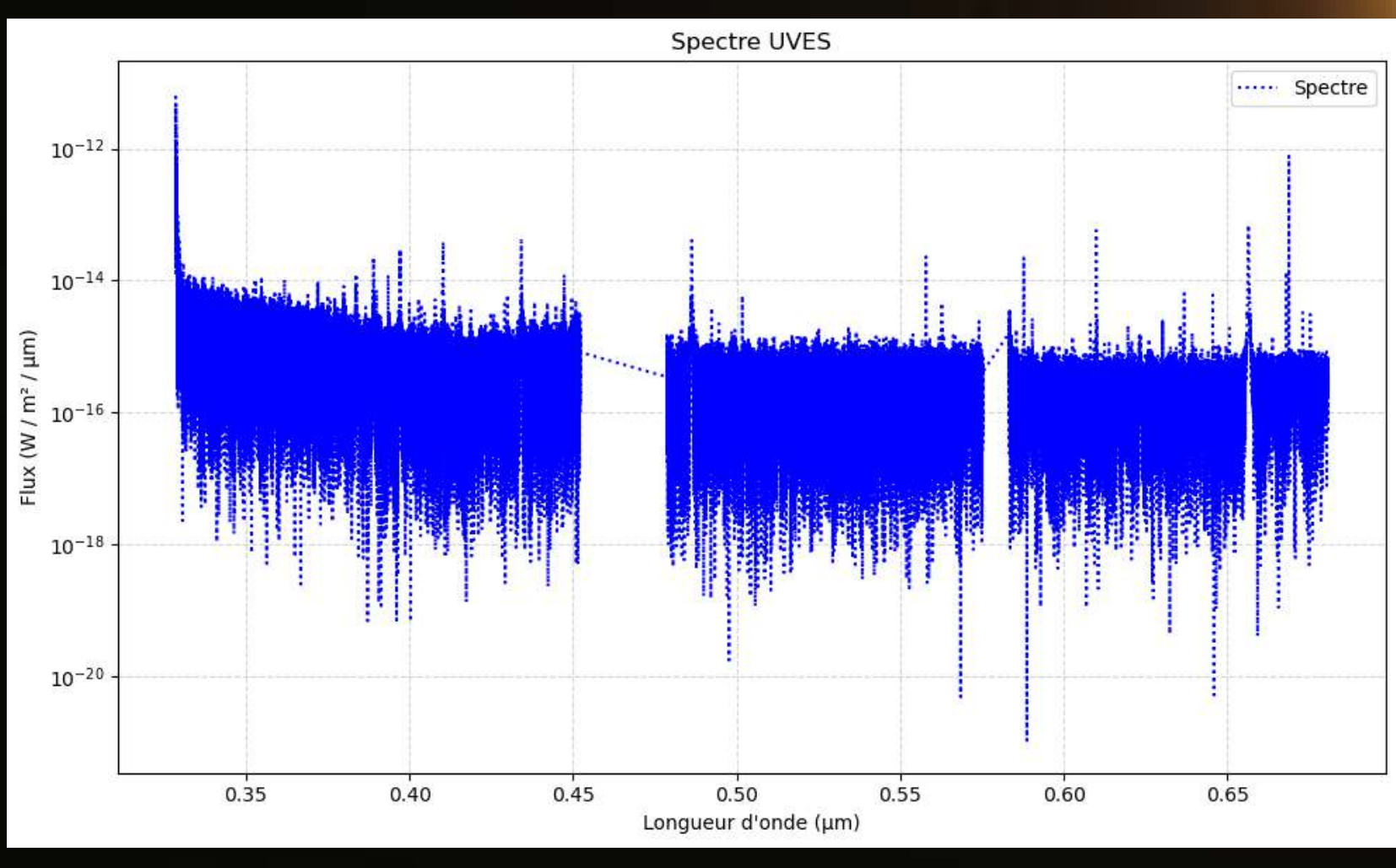
VLT/SINFONI

JWST/MIRI

VLT/UVES

APO/Triple Spec





NIR/UV: 0,28-0,68µm

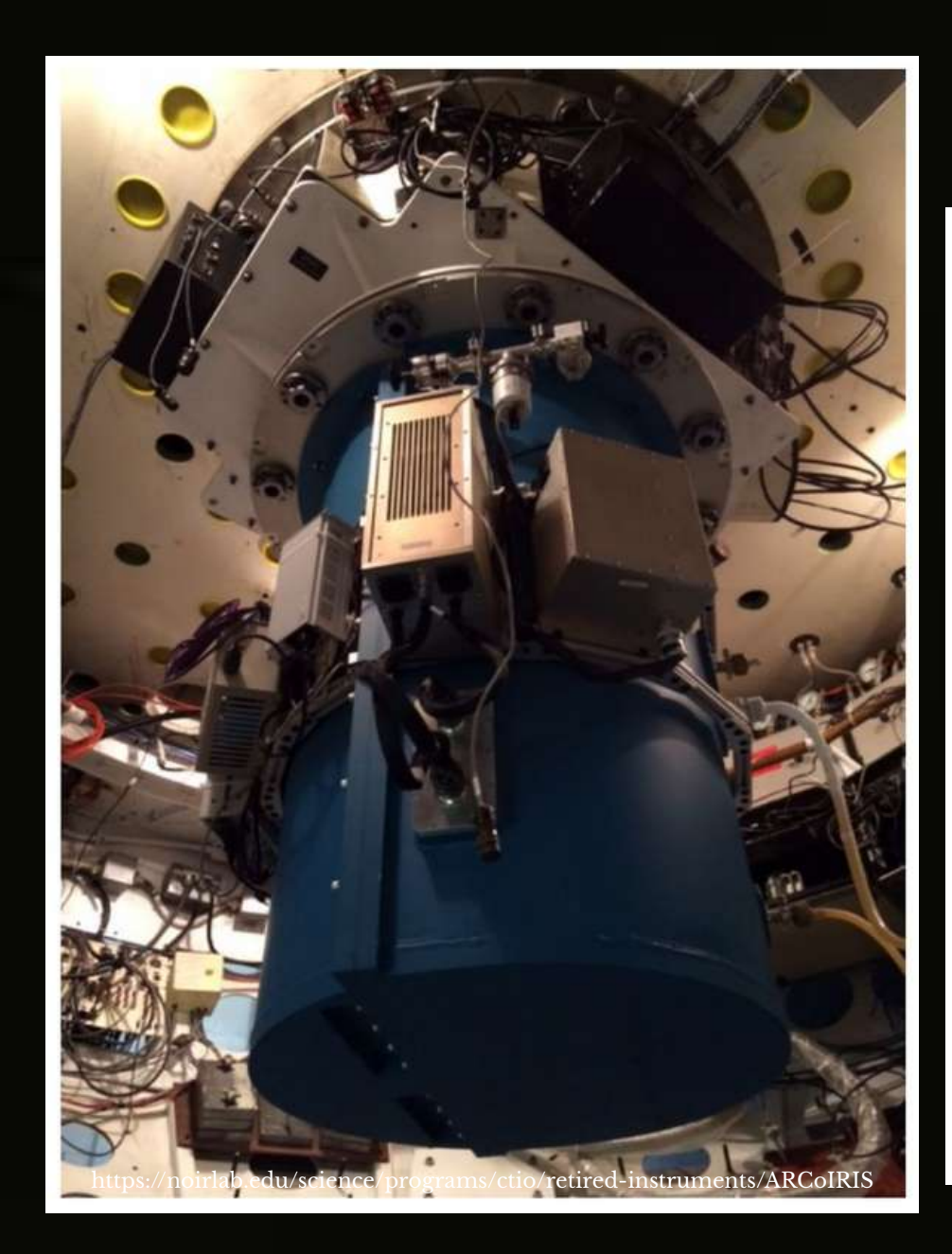
Spectre DELORME AB b

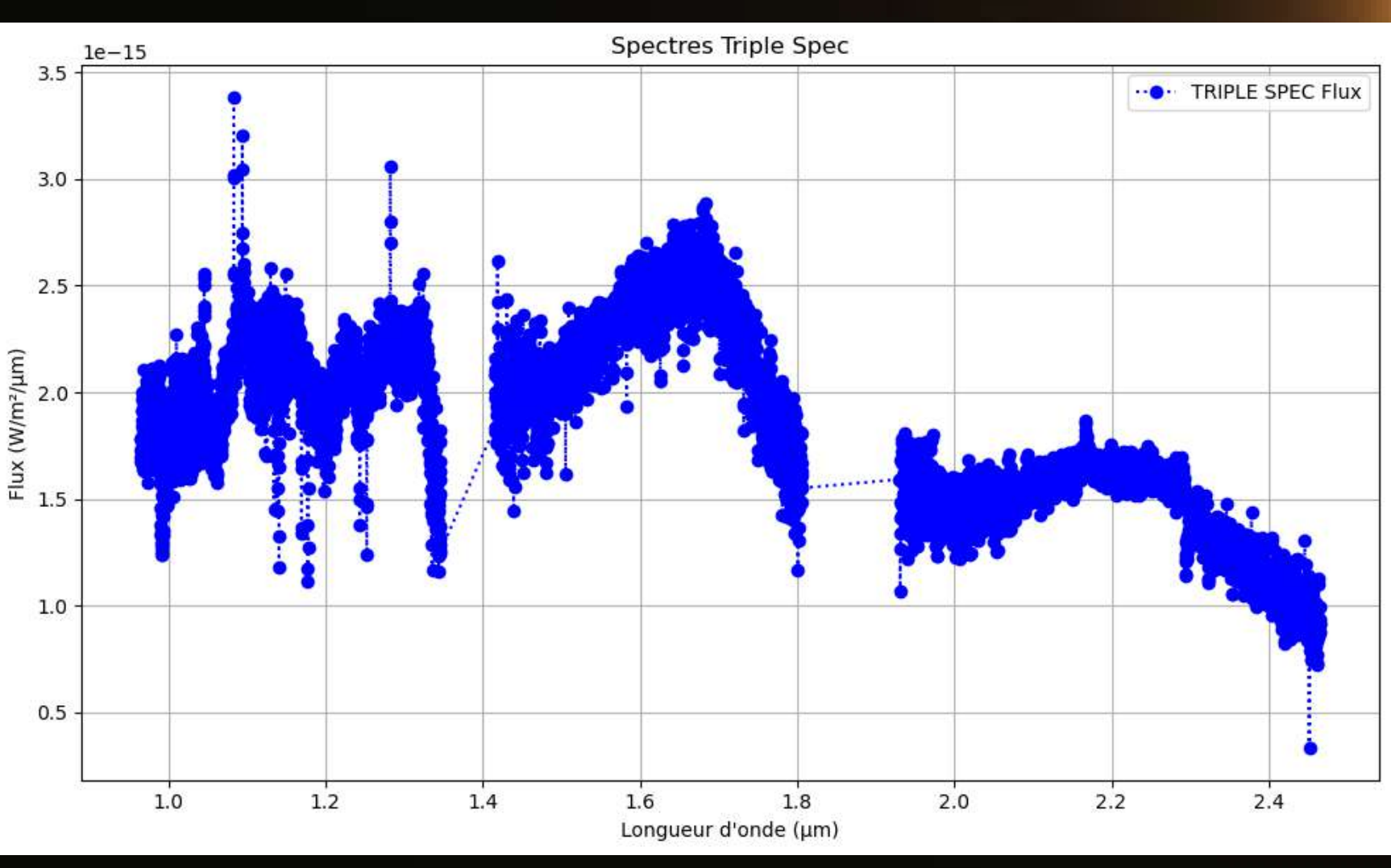
VLT/SINFONI

JWST/MIRI

VLT/UVES

APO/Triple Spec





Near IR: 0,95-2,46µm